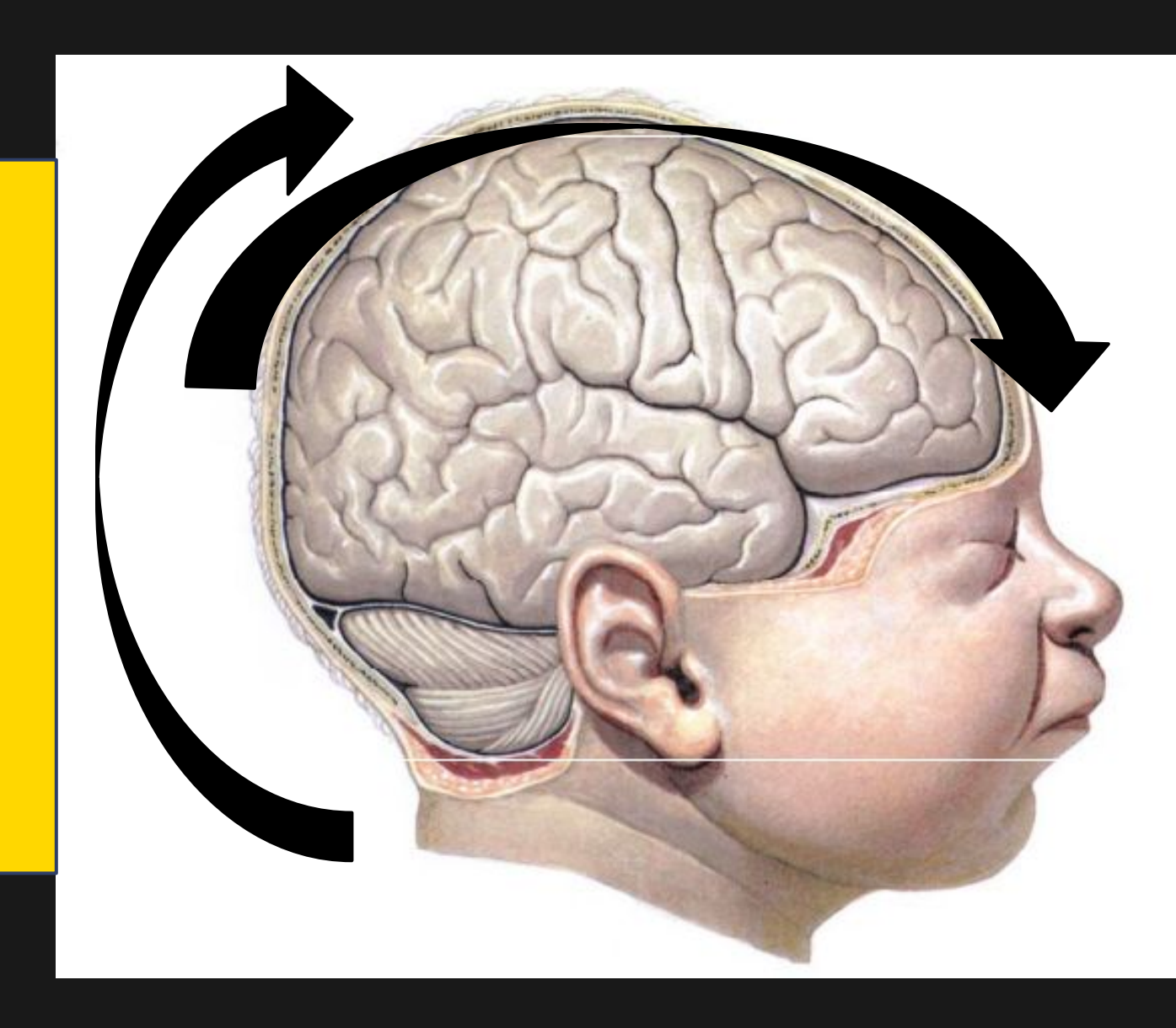
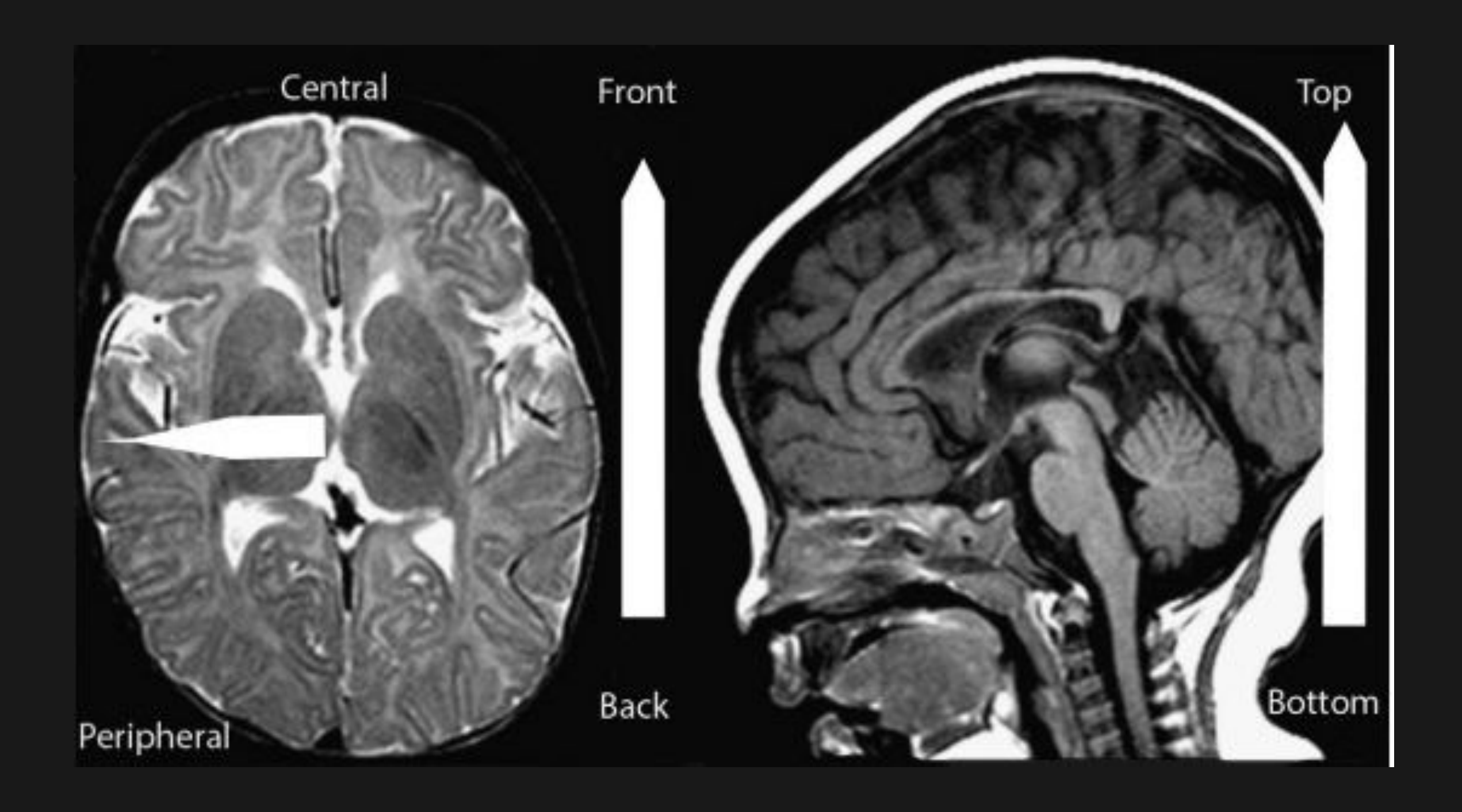




Миелинизация

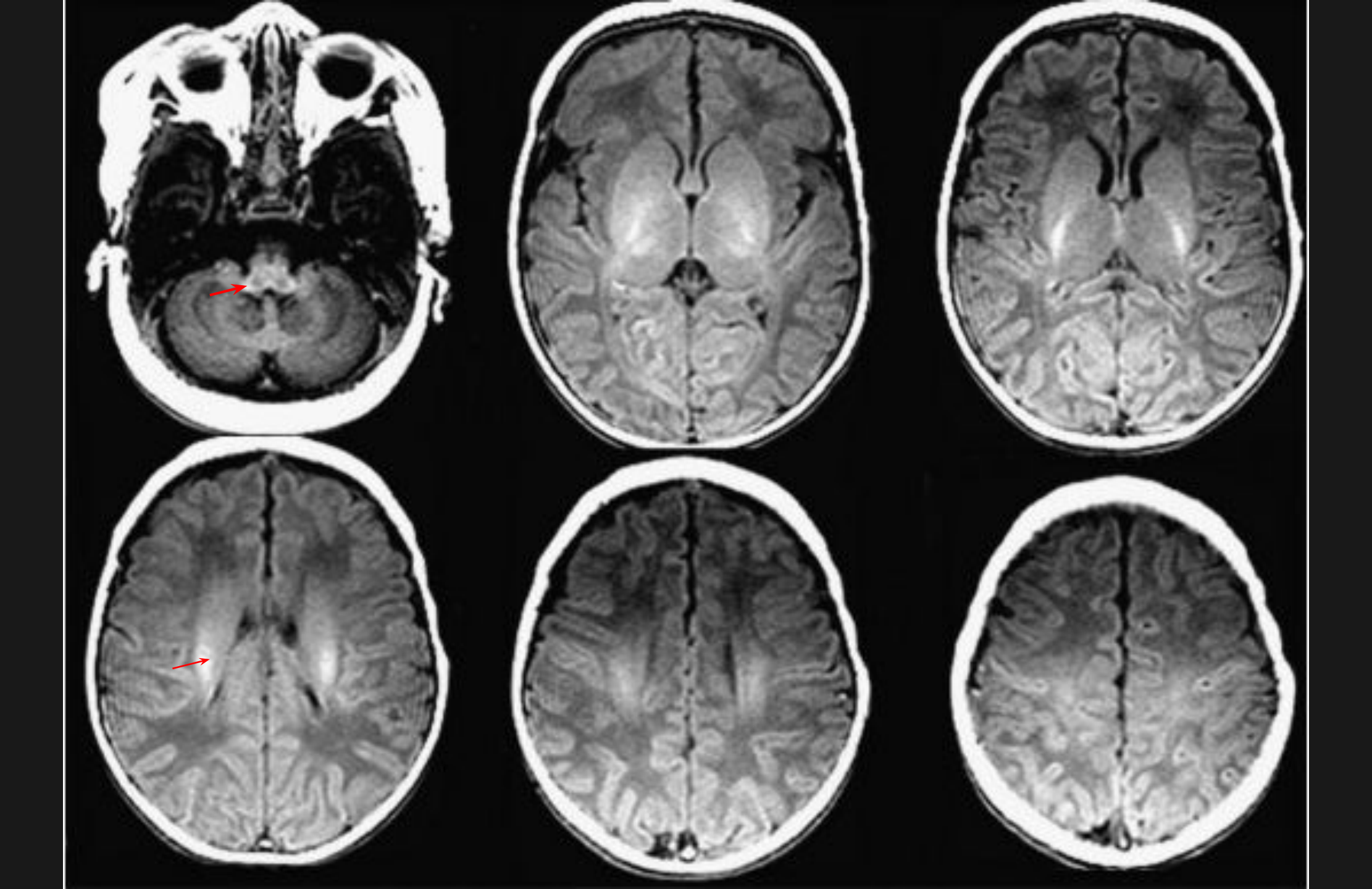
- □ с 5 месяца внутриутробного развития и продолжается после рождения
- от каудальной поверхности к краниальной, от дорсальной к вентральной
- закономерность?

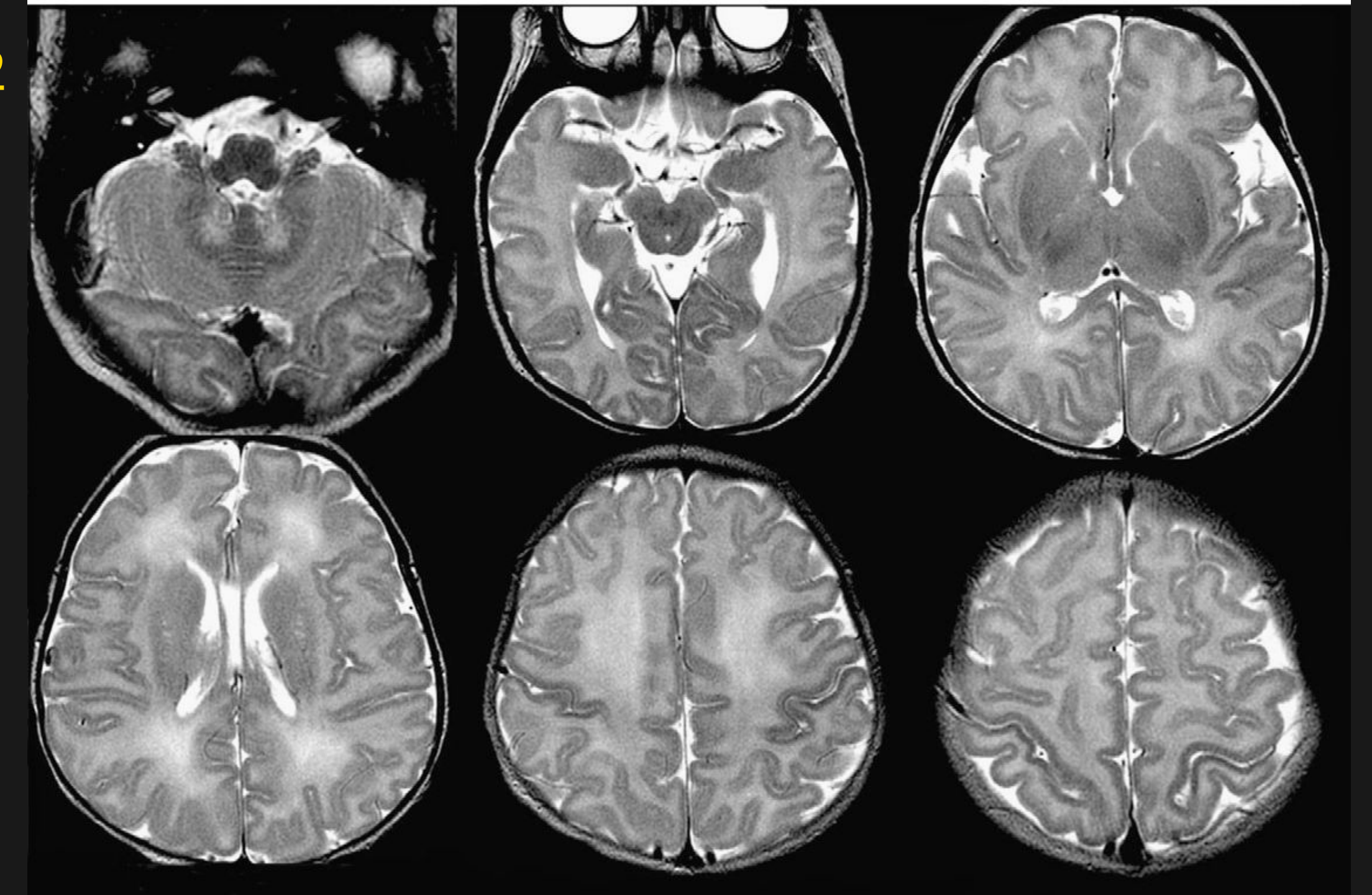


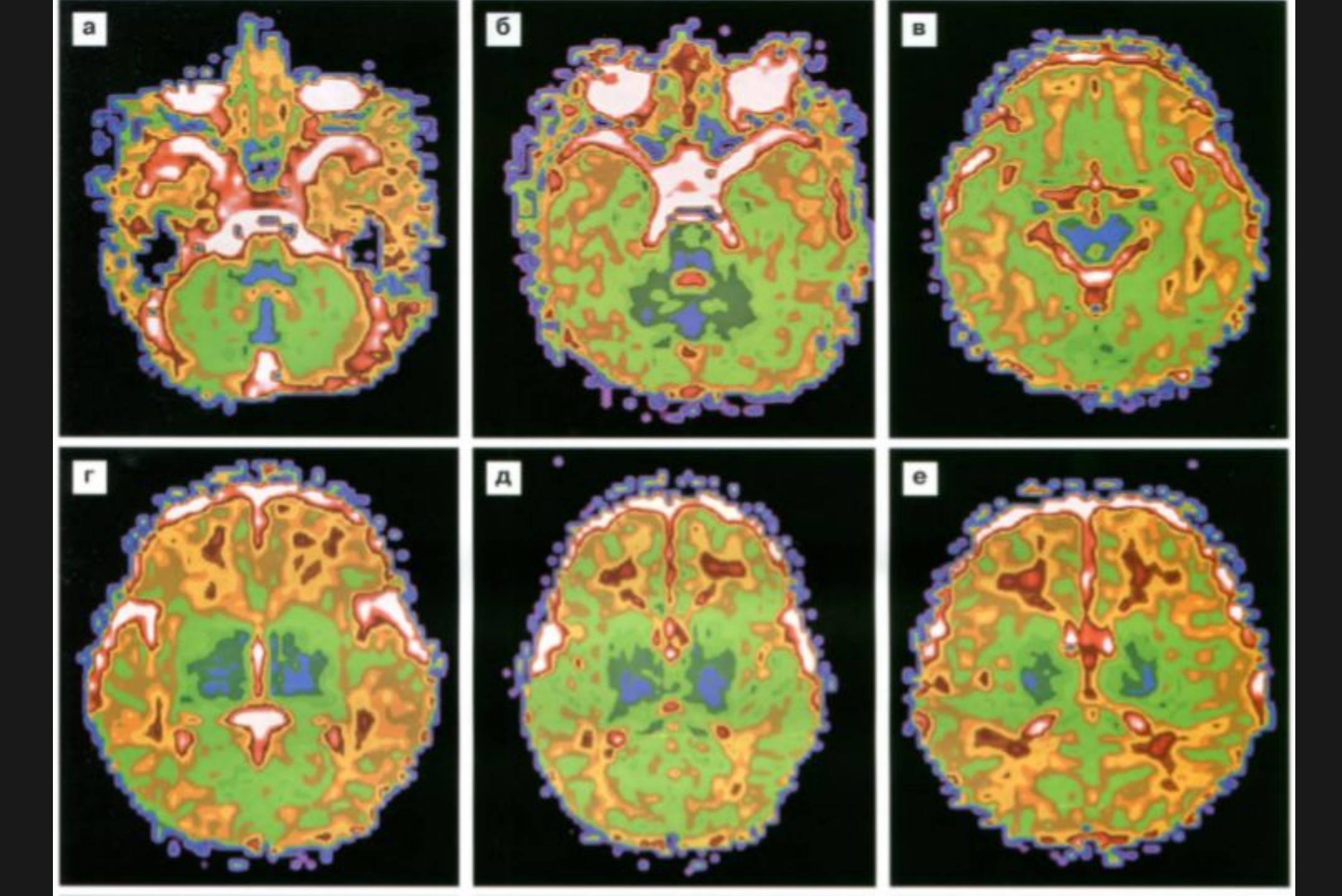


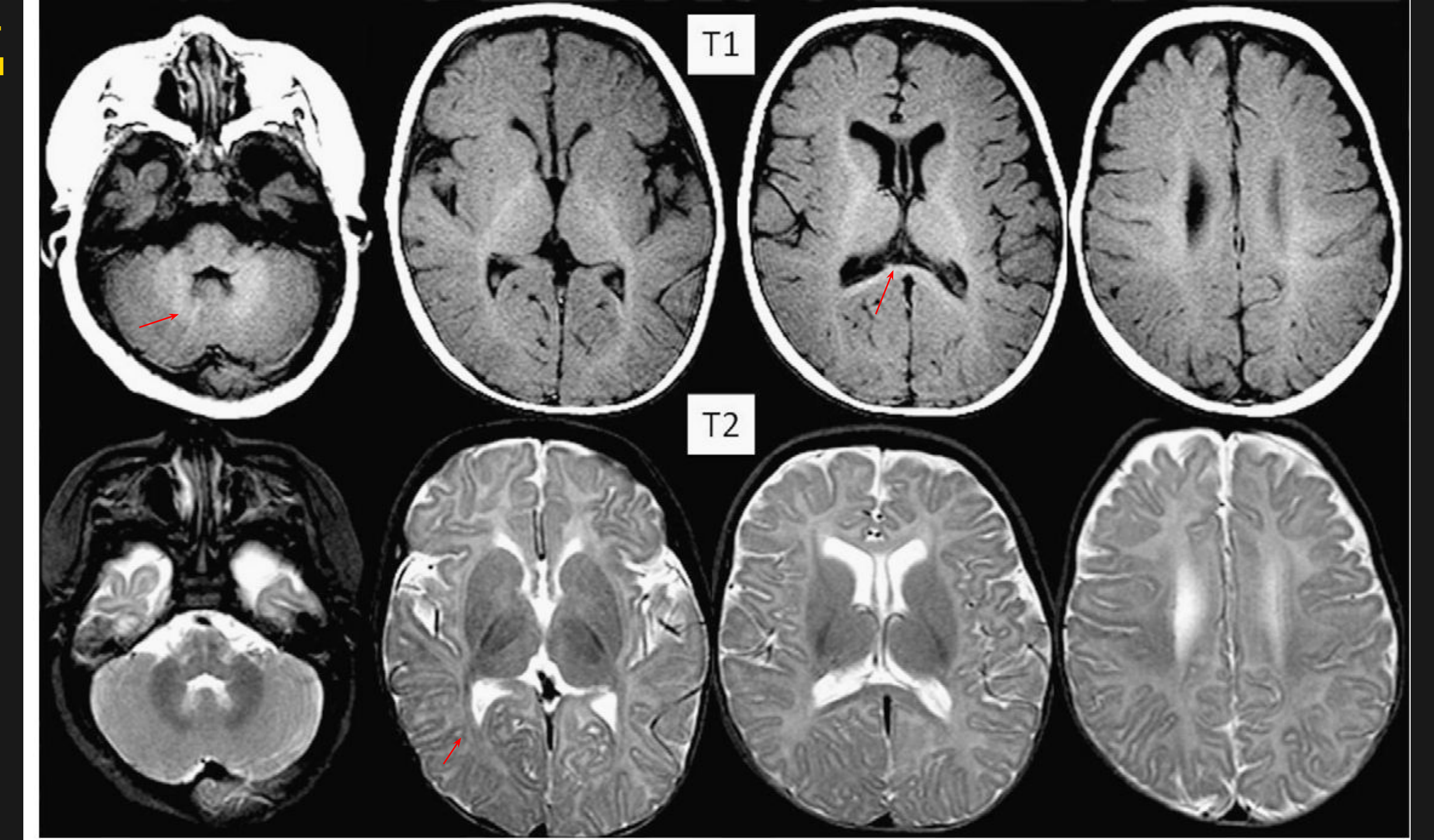
| Возраст (месяцы) | Интенсивность на Т1-ВИ | Интенсивность на Т2-ВИ | Интенсивность на FLAIR | DTI (анизотропия) |
|---------------------|---|--|--|---|
| Момент рождения | ↑ продолговатый мозг ↑ дорсальная часть моста ↑ средние ножки мозжечка ↑ нижние и верхние ножки мозжечка ↑ средний мозг ↑ вентролатеральная часть таламуса ↑ задняя ножка внутренней капсулы ↑ семиовальный центр ↑ зрительные нервы, тракты и лучистость | ↓ продолговатый мозг ↓ дорсальная часть моста ↓ средний мозг ↓ перироландова извилина ↓ верхние и нижние ножки мозжечка ↓ вентролатеральная часть таламуса | ↓ глубокие затылочное, лобное, височное БВ | ↑ тракты центрального БВ ↓ периферическое БВ ↑ все мозжечковые ножки ↑ медиальная петля и медиальный продольный пучок ↑ кортикоспинальные тракты ↑ ножки мозга ↑ внутренняя капсула и лучистый венец ↑ поясок и свод ↑ мозолистое тело ↑ передняя комиссура ↑ U-волокна |
| 2 | ↑ глубокое БВ ↑ передняя ножка внутренней капсулы | ↓ средние ножки мозга ↓ задняя ножка внутренней капсулы ↓ семиовальный центр ↓ зрительные тракты | ↑ глубокие затылочное, лобное, височное БВ | Фракционная анизотропия периферического белого вещества сильно повышена |
| 4 | ↑ весь мозжечок ↑ валик мозолистого тела | ↓ зрительная лучистость ↓ шпорная борозда | ↓ дорсальная часть моста ↓ средние ножки мозжечка ↓ задняя ножка внутренней капсулы | ↑ периферическое БВ ↑ нижний лобно-затылочный пучок ↑ нижний продольный пучок ↑ субкортикальные U- волокна ↑ большие и малые щипцы (инвертированная V-форма) |

| 6 | ↑ все мозолистое тело | ↓ валик мозолистого тела ↓ вентральная часть моста | ↓ зрительная лучистость ↓ семиовальный центр ↓ мозолистое тело | Определяется сильное выделение малых и больших щипцов |
|--------|--|---|---|--|
| 8 | ↑ субкортикальные U- волокна | ↓ передняя ножка внутренней капсулы ↓ все мозолистое тело | ↓ передняя ножка внутренней капсулы | Большие щипцы приобретает перевернутую U-форму |
| 12 | ↑ лобные и височные субкортикальные U-волокна Головной мозг приобретает картину взрослого мозга на Т1-ВИ | ↓ глубокое БВ мозжечка ↓ ранние затылочные субкортикальные U-волокна ↓ височное центральное БВ | ↓ глубокое затылочное БВ | ↑ верхний продольный пучок ↑ области пересечения волокон |
| 18 | Минимальные изменения | ↓ субкортикальные U- волокна затылочных полюсов ↓ вся задняя черепная ямка | ↓ глубокое лобное БВ ↓ субкортикальное затылочное БВ | Повышение ФА и утолщение трактов по всему мозгу |
| 24 | Минимальные изменения | ↓ субкортикальные U- волокна лобных и височных полюсов | ↓ глубокое височное БВ ↓ субкортикальное лобное БВ | Повышение ФА и утолщение трактов по всему мозгу |
| Другое | Т1-ВИ дают мало информации после 1-го года жизни | Периатрильные терминальные зоны могут оставаться гиперинтесивными в течение второй декады | Субкортикальные U-волокна в височных полюсах остаются гиперинтенсивными после 24 месяца жизни | Карта ФА приобретает картину взрослого мозга к 48 месяцу |









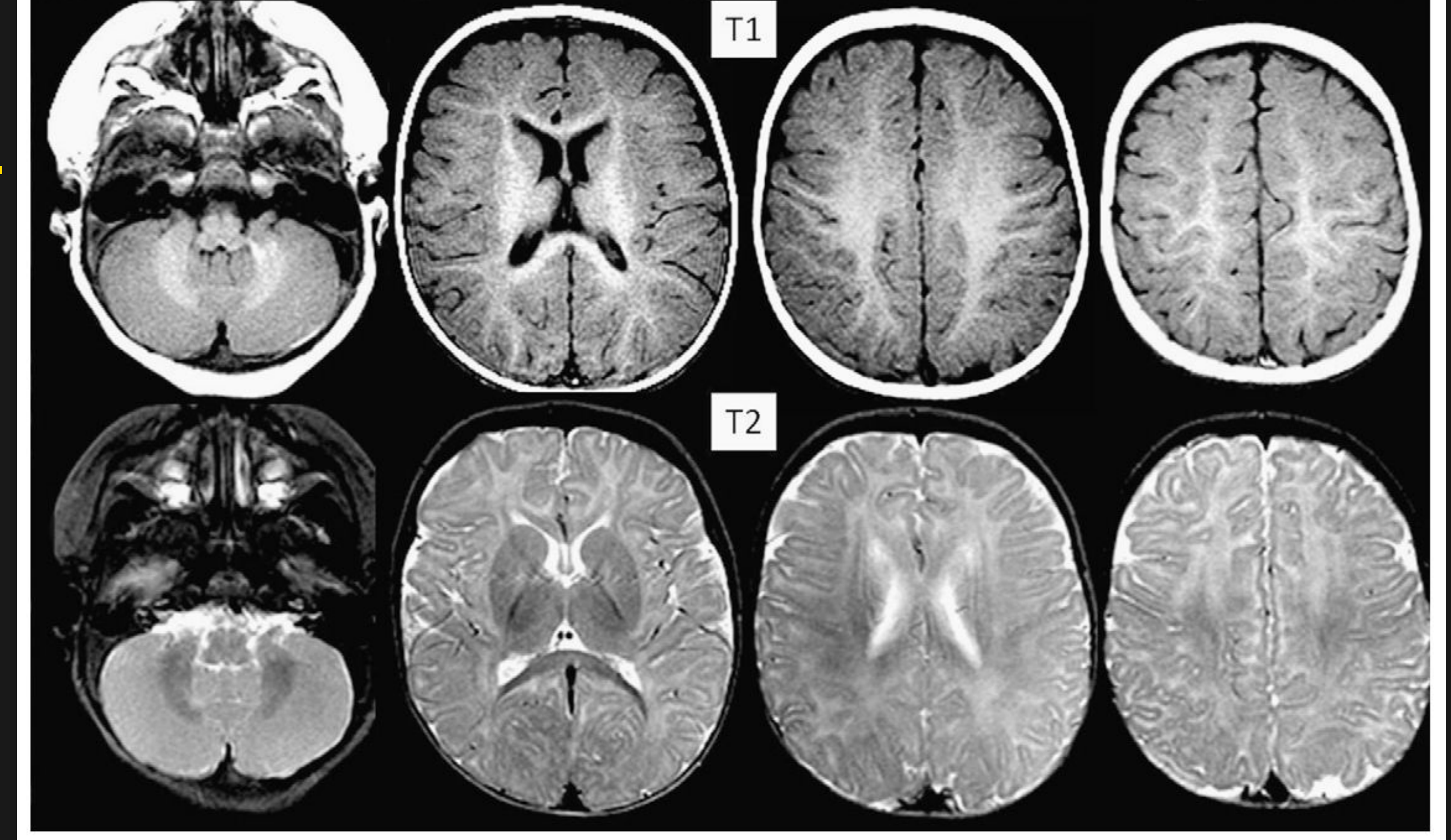
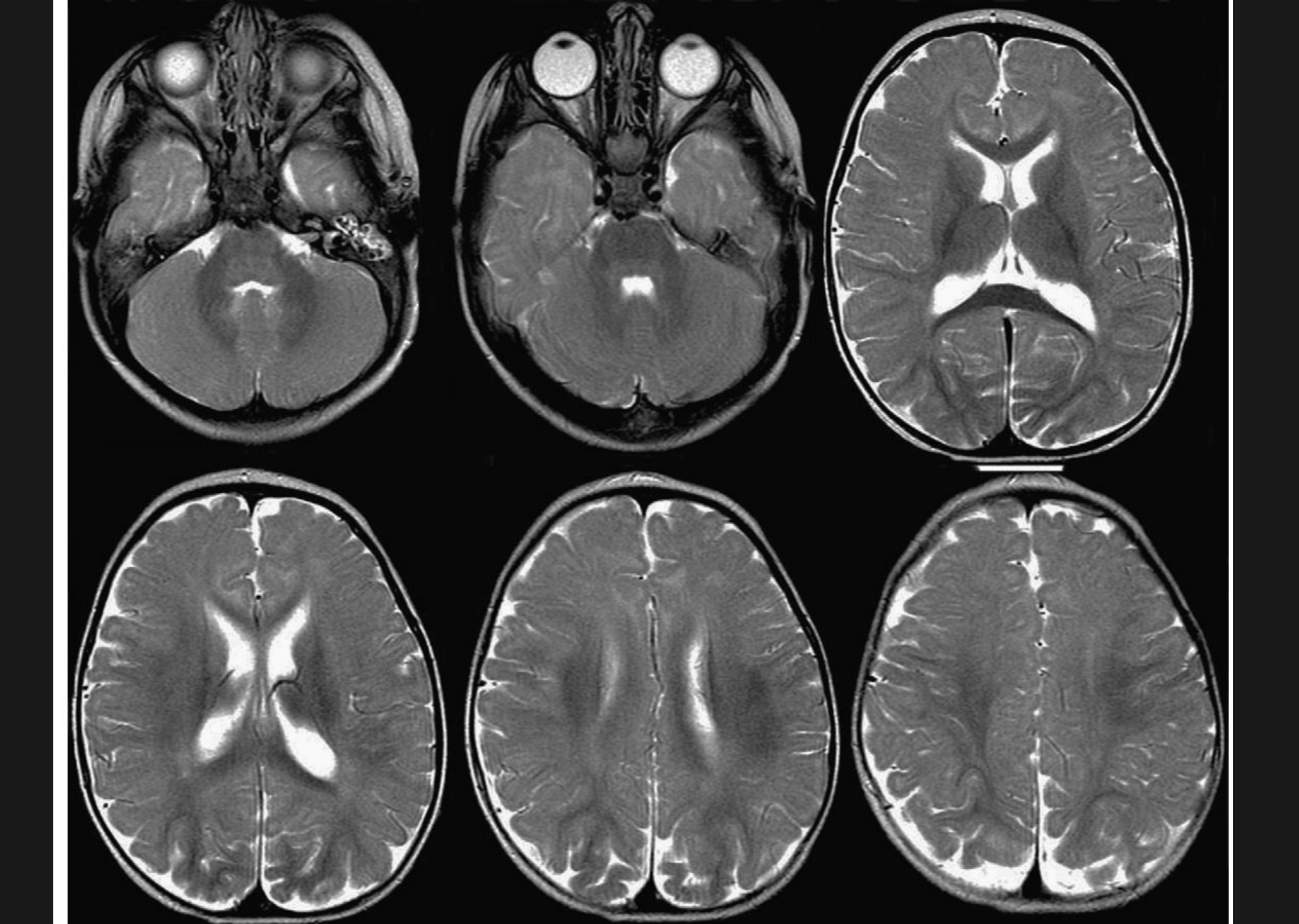
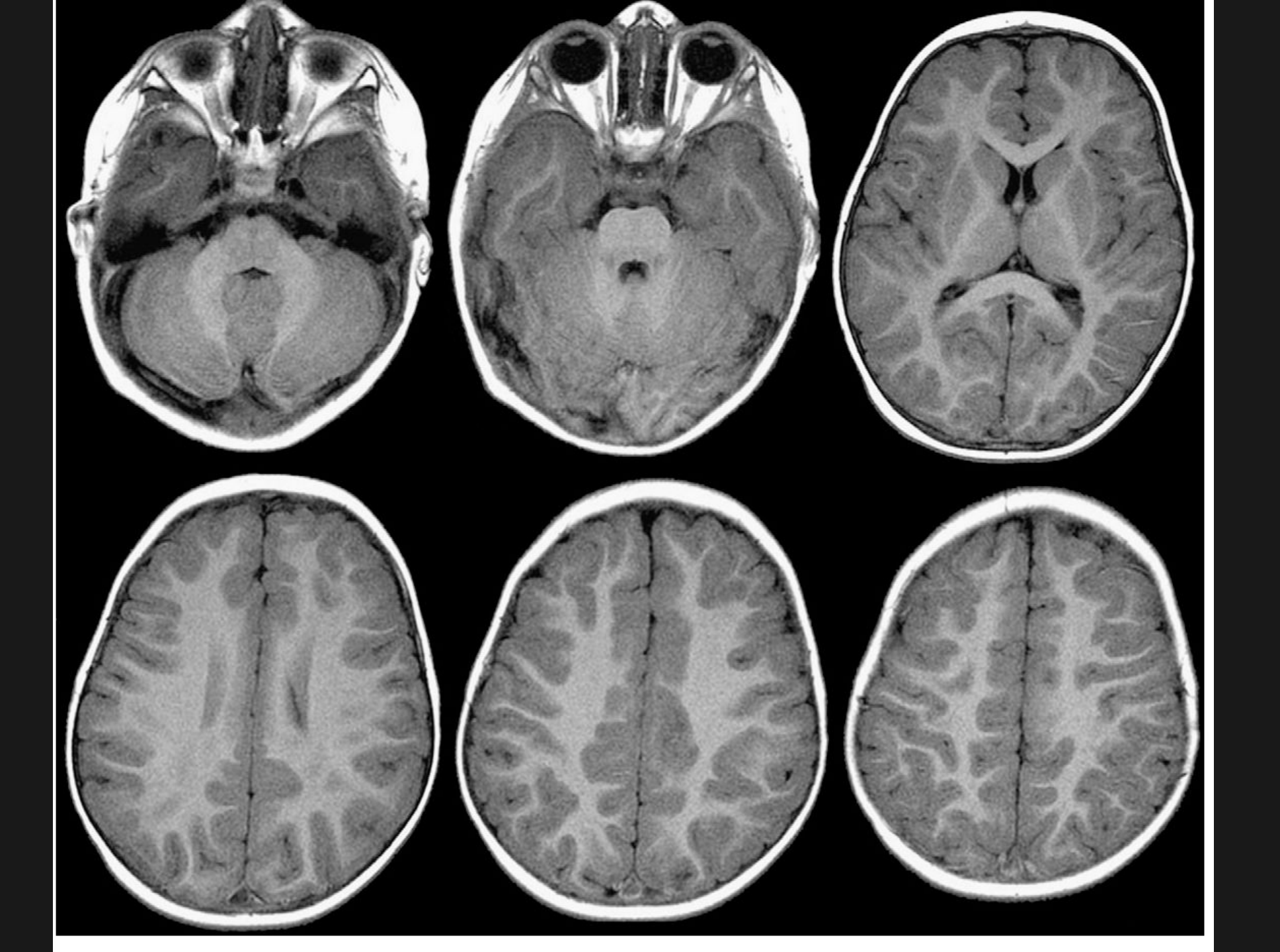


Fig. F. Imaging of muclination. But 6 months, there is bulling up of muclin in the central vubite matter specifically

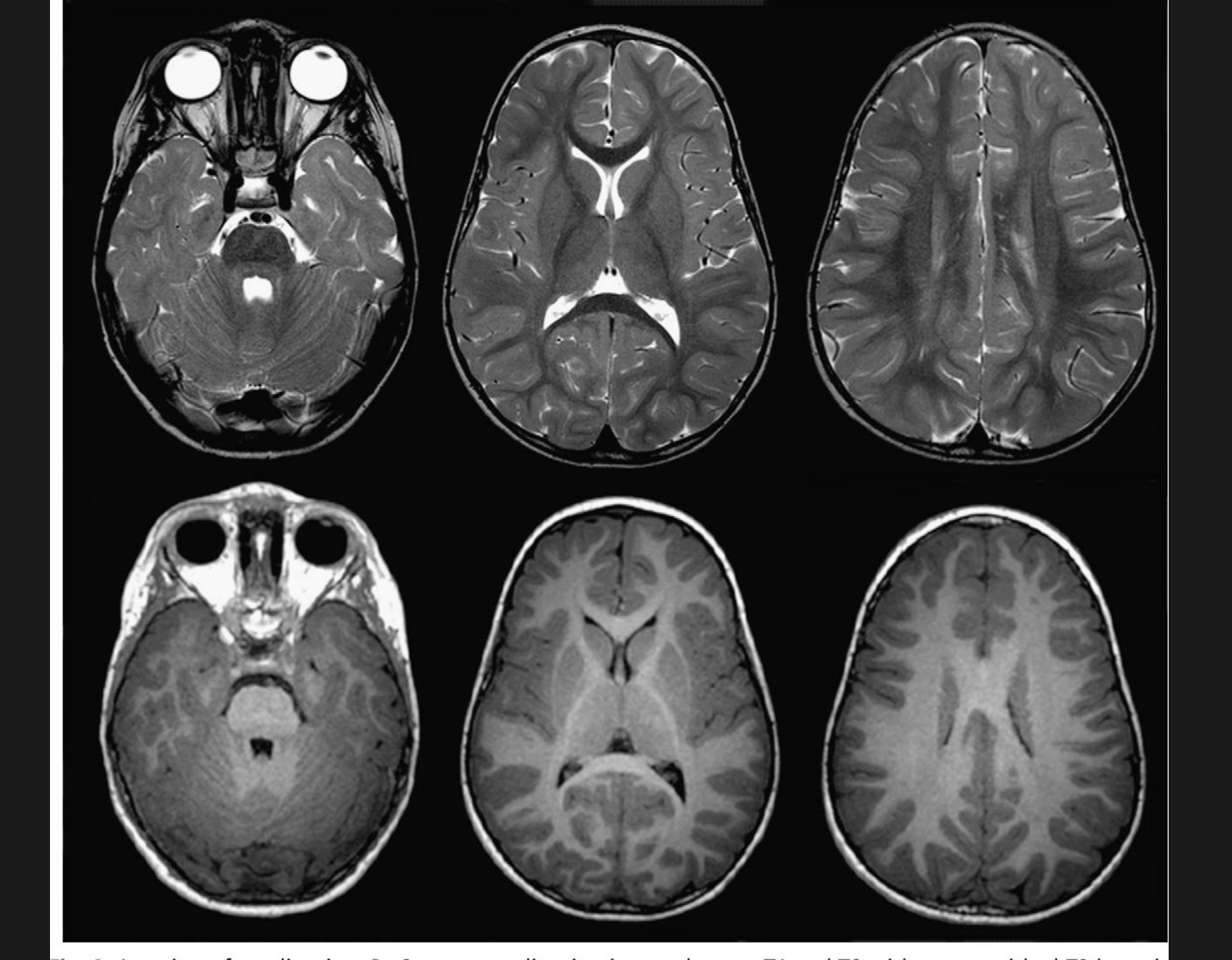
12 мес.



18 мес.



2 года



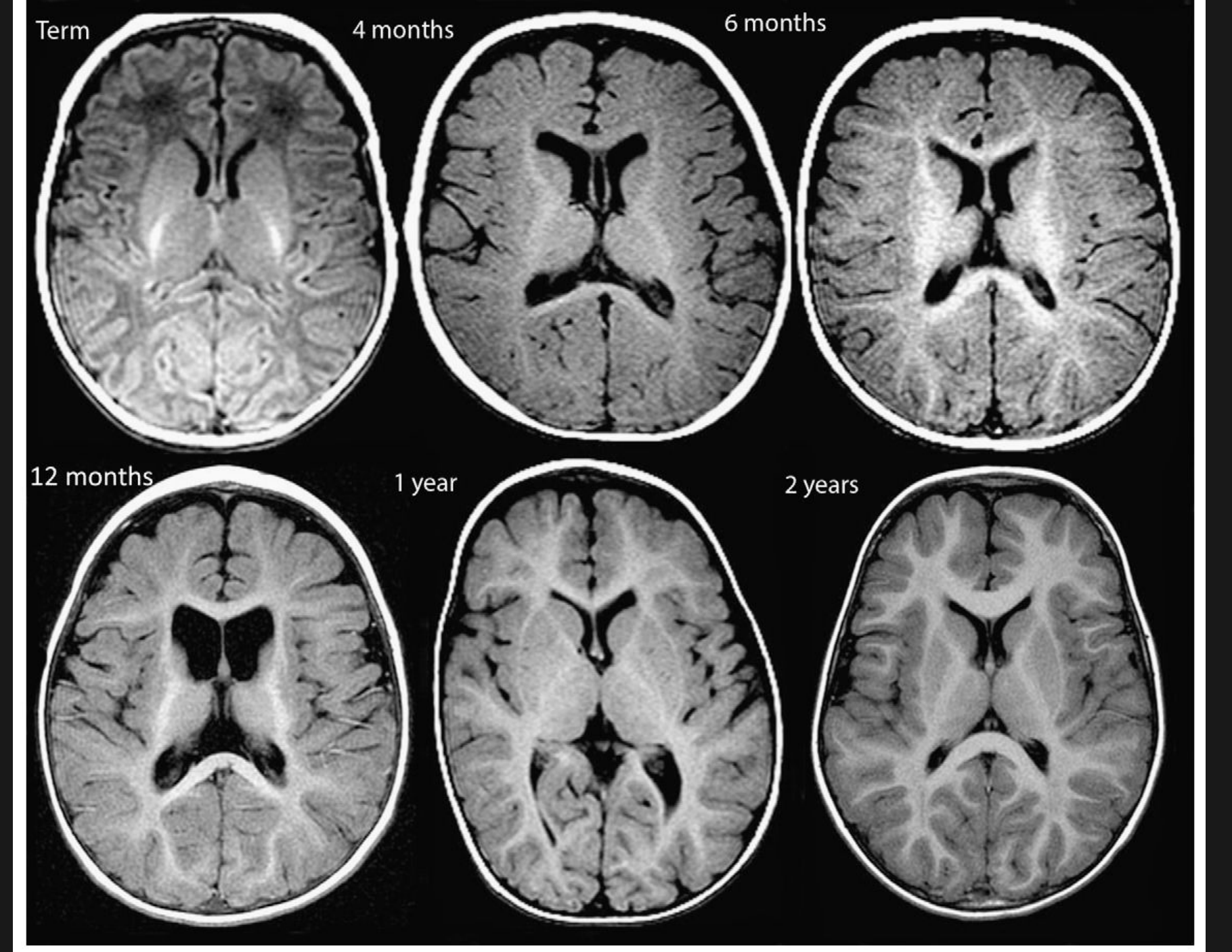
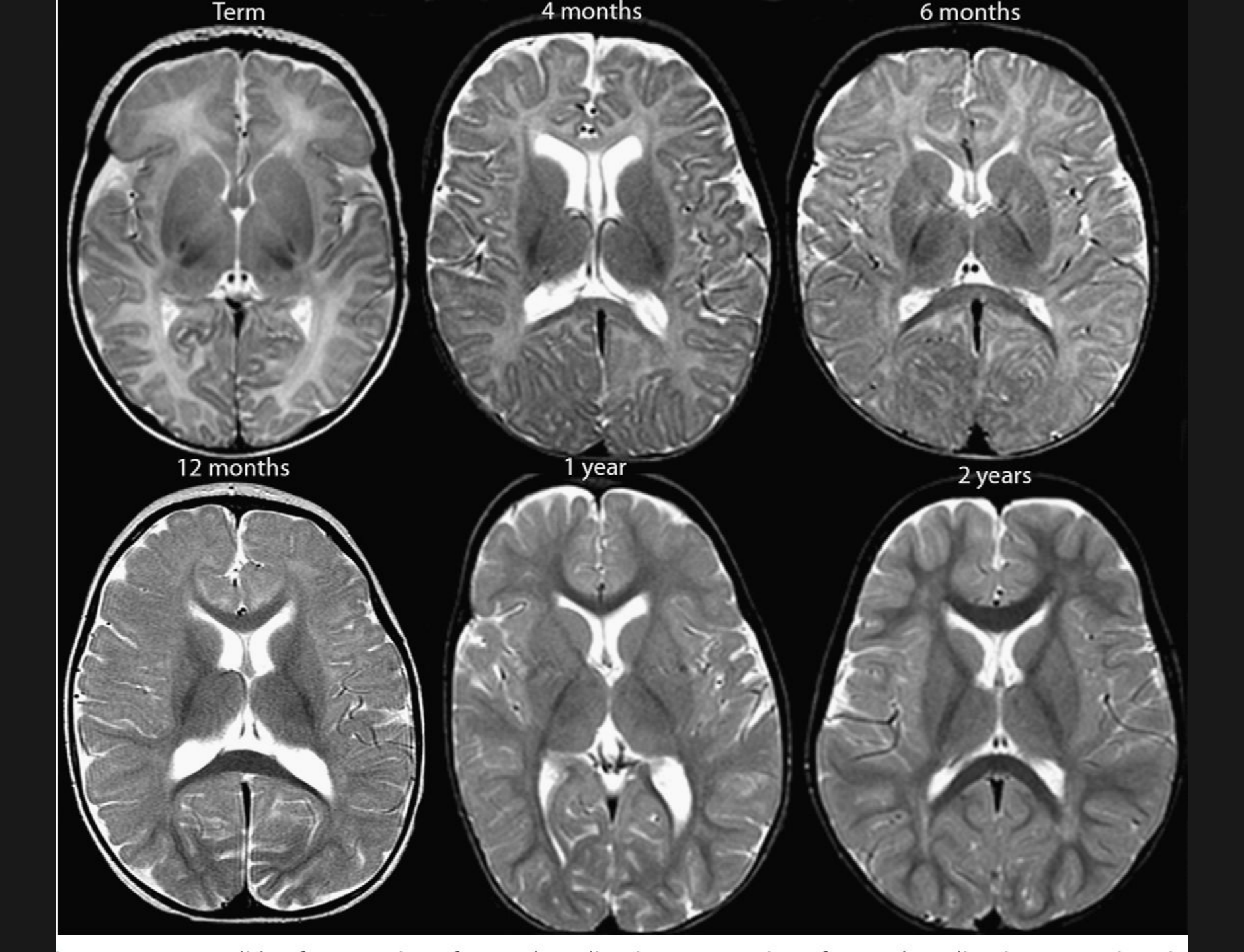
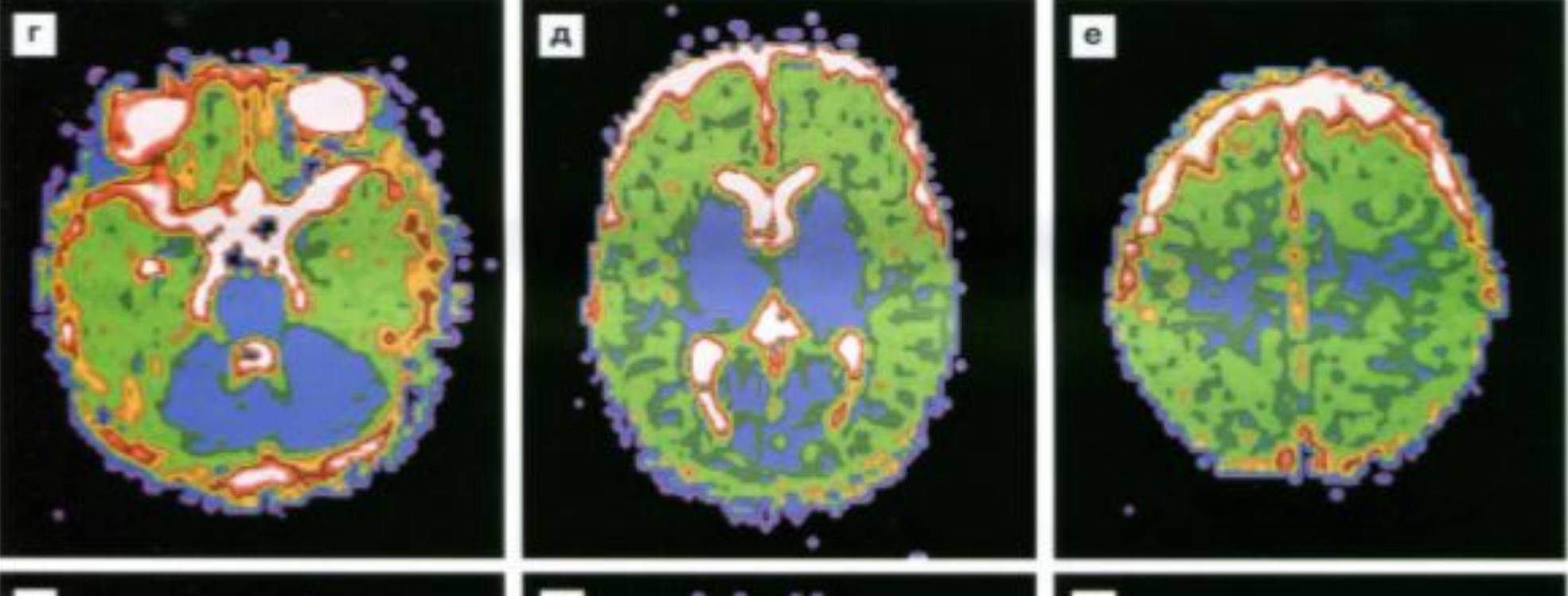


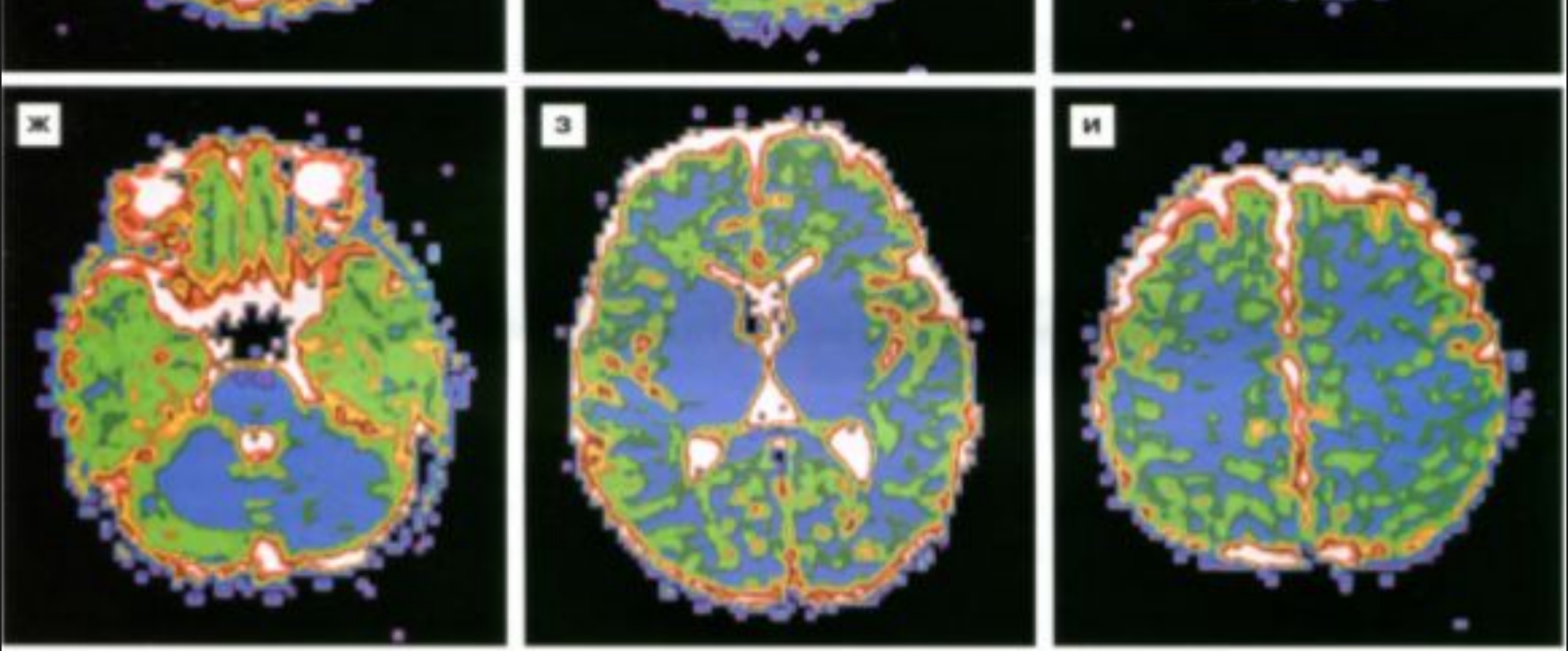
Fig. 13. Summary slide of progression of normal myelination. Progression of normal myelination on MR imaging



3 мес



8 мес.

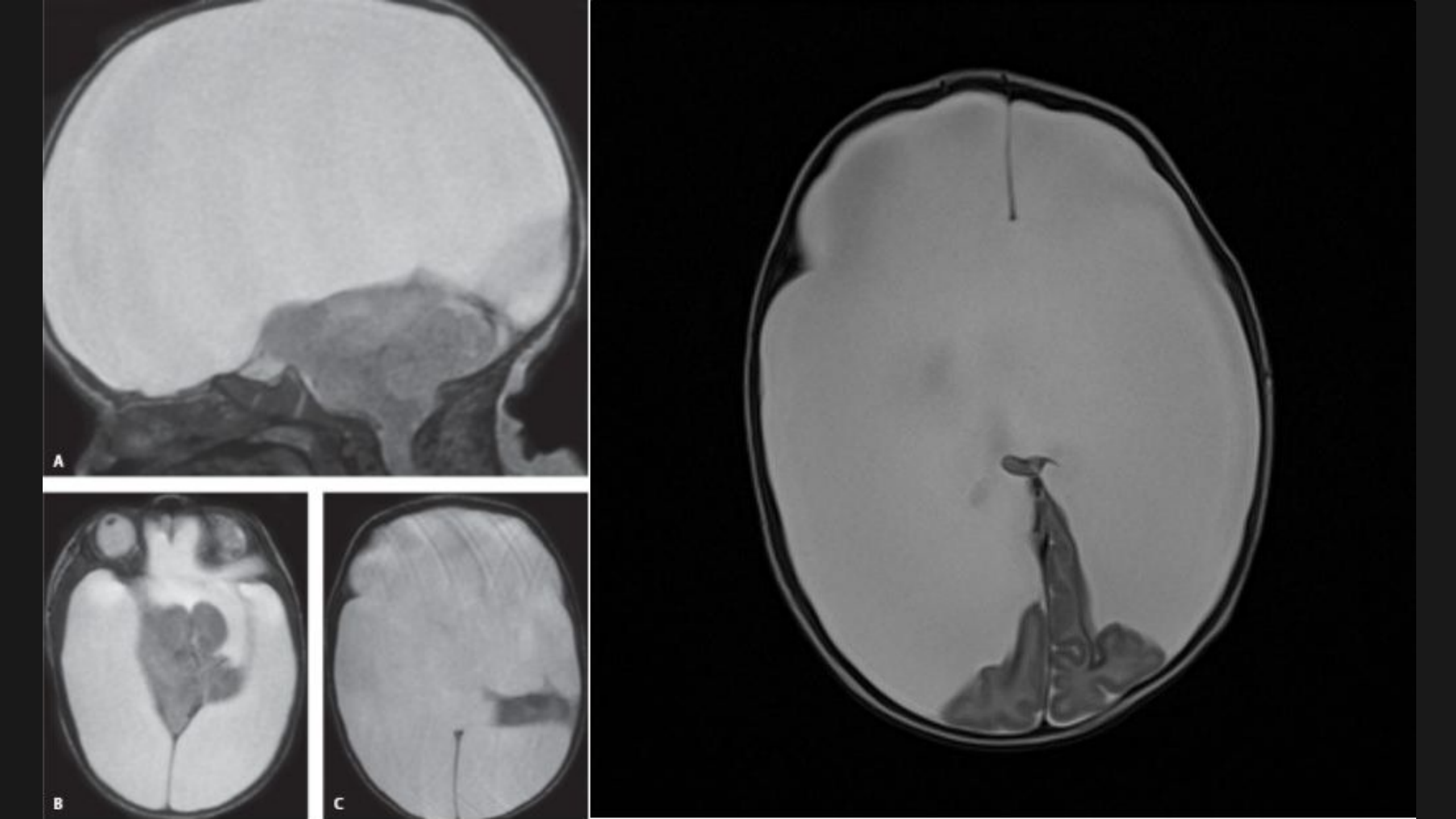


12 мес 2 года



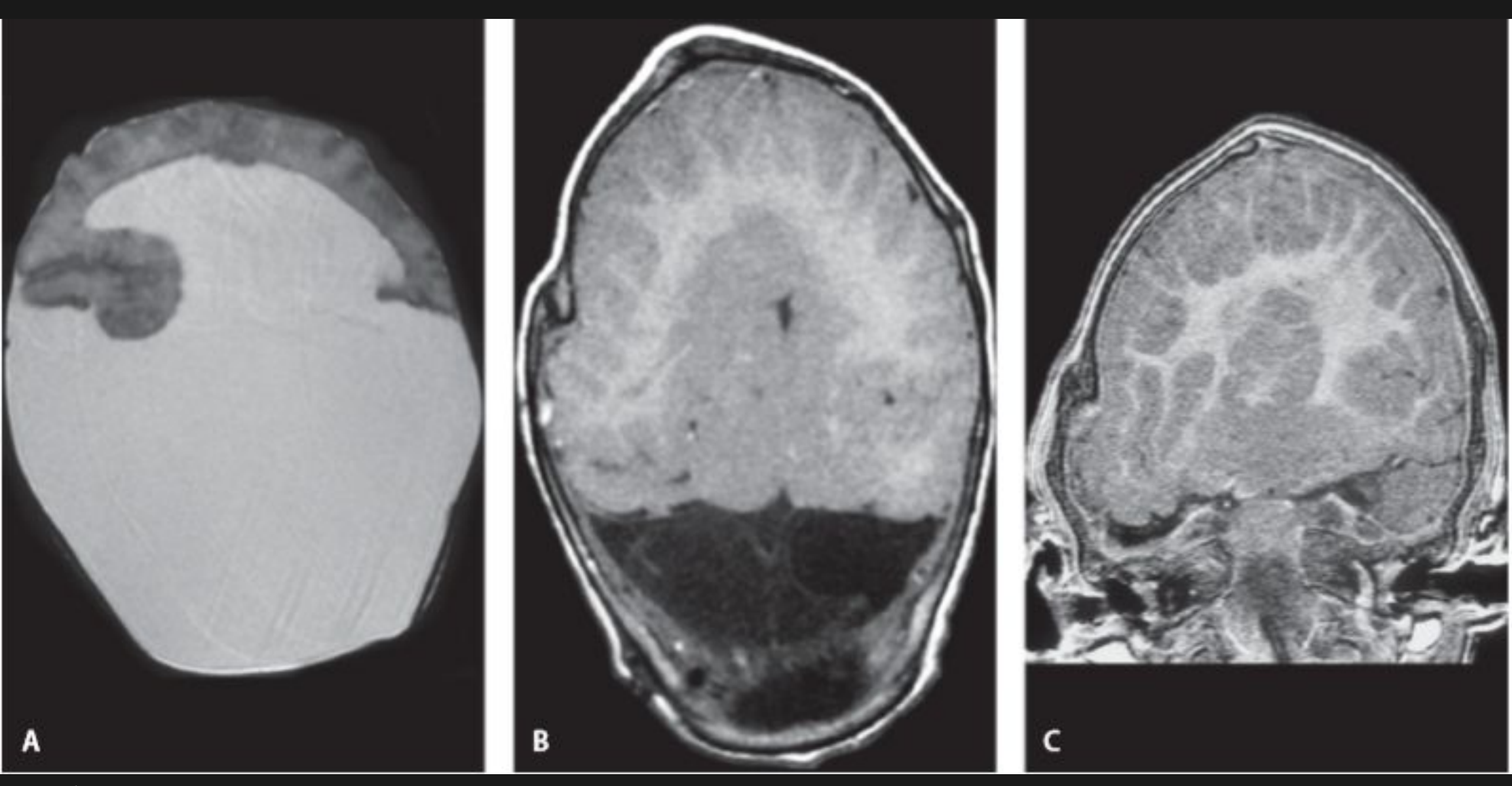
Table 2.1. Classification of congenital brain anomalies

| Gestational age | Stage/etiology | Malformation |
|---------------------------------|------------------------|---|
| 3–4 weeks | Dorsal induction | Anencephaly Cephalocele Chiari II |
| 5–8 weeks | Ventral induction | Porencephalies Septo-optic dysplasia Pituitary maldevelopment Posterior fossa malformations |
| 2–5 months | Neuronal proliferation | Microcephaly Megalencephaly Hemimegalencephaly Neurocutaneous syndromes |
| 2–5 months | Neuronal migration | Schizencephaly Lissencephaly Heterotopias Polymicrogyria |
| 6 months to postnatal and adult | | Maturation and dysmyelinating disorders Metabolic disorders Toxic effects Encephaloclastic disorders |



Алгоритм анализа структур

- Срединные структуры(межполушарную борозду, мозговые комиссуры, прозрачную перегородку, гипофиз, гипоталамус)
- Кора ГМ(толщина коры, конфигурация извилин, переход между корой и белым веществом)
- Белое вещество ГМ(миелинизация, наличие узелков или щелей)
- Желудочковая система
- Структуры среднего и заднего мозга(ствол головного мозга, мозжечок)



Алобарная голопрозэнцефалия

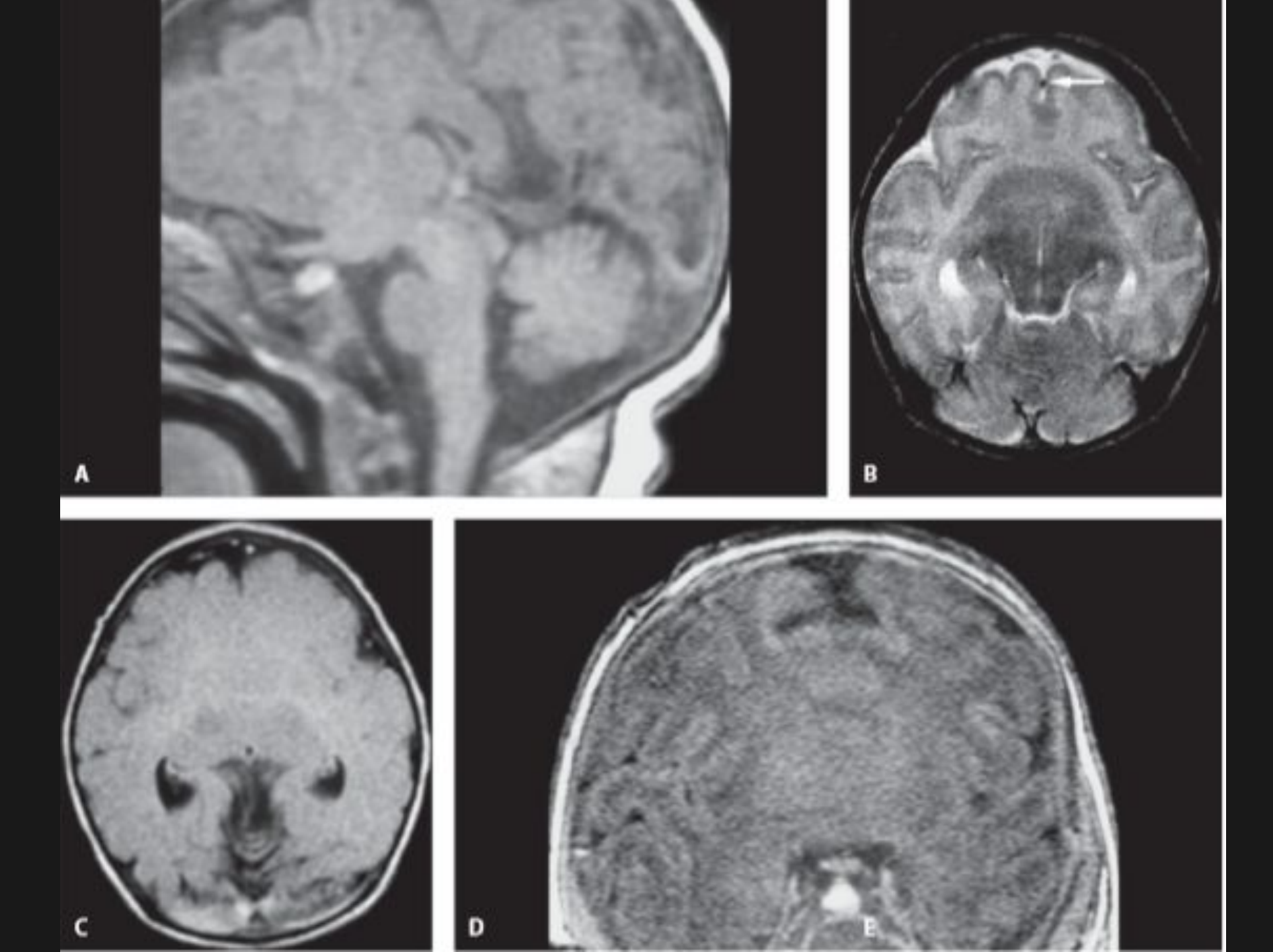
Голопрозэнцефалия

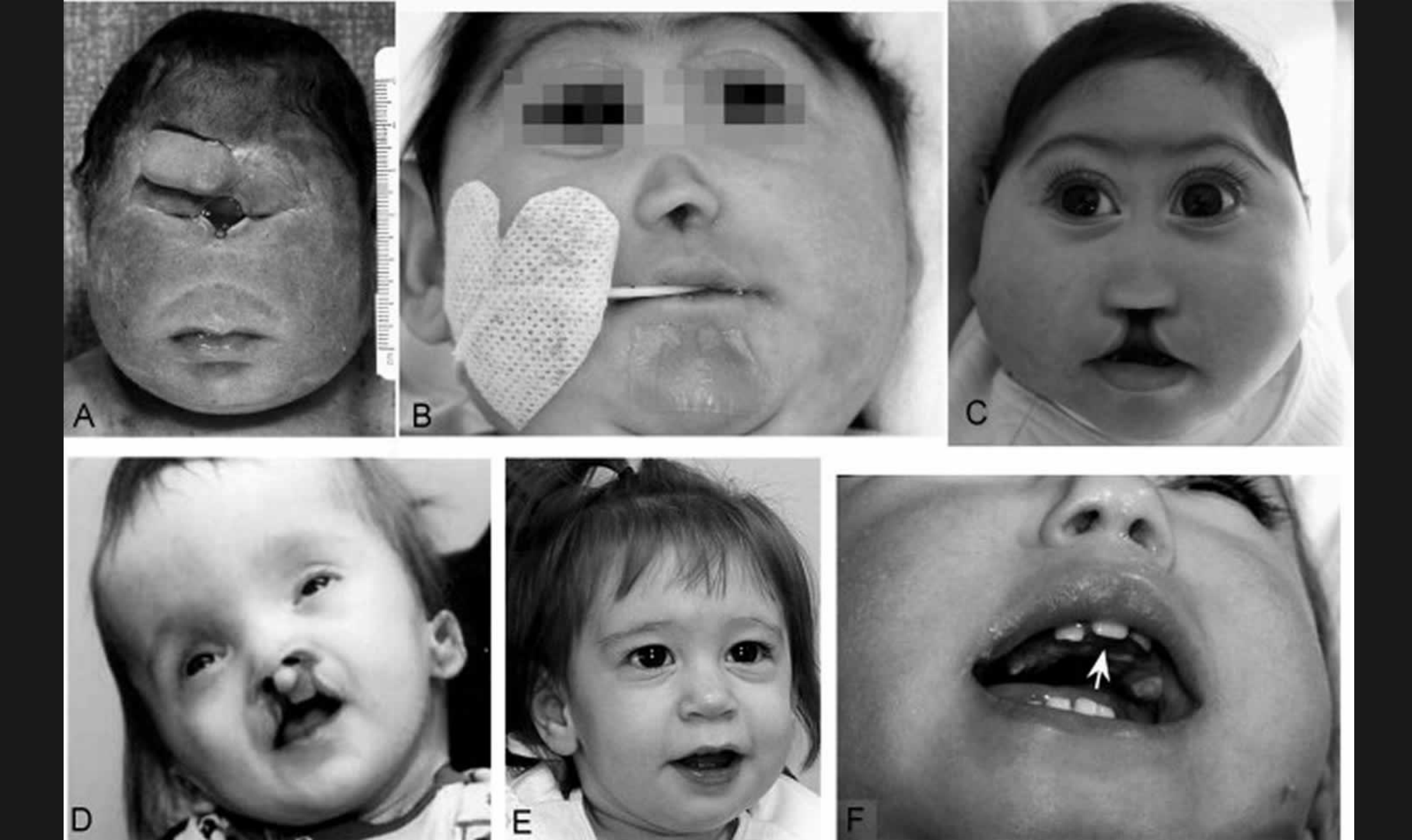
- Неполное разделение полушарий головного мозга
- Визуализация: -единственный желудочек

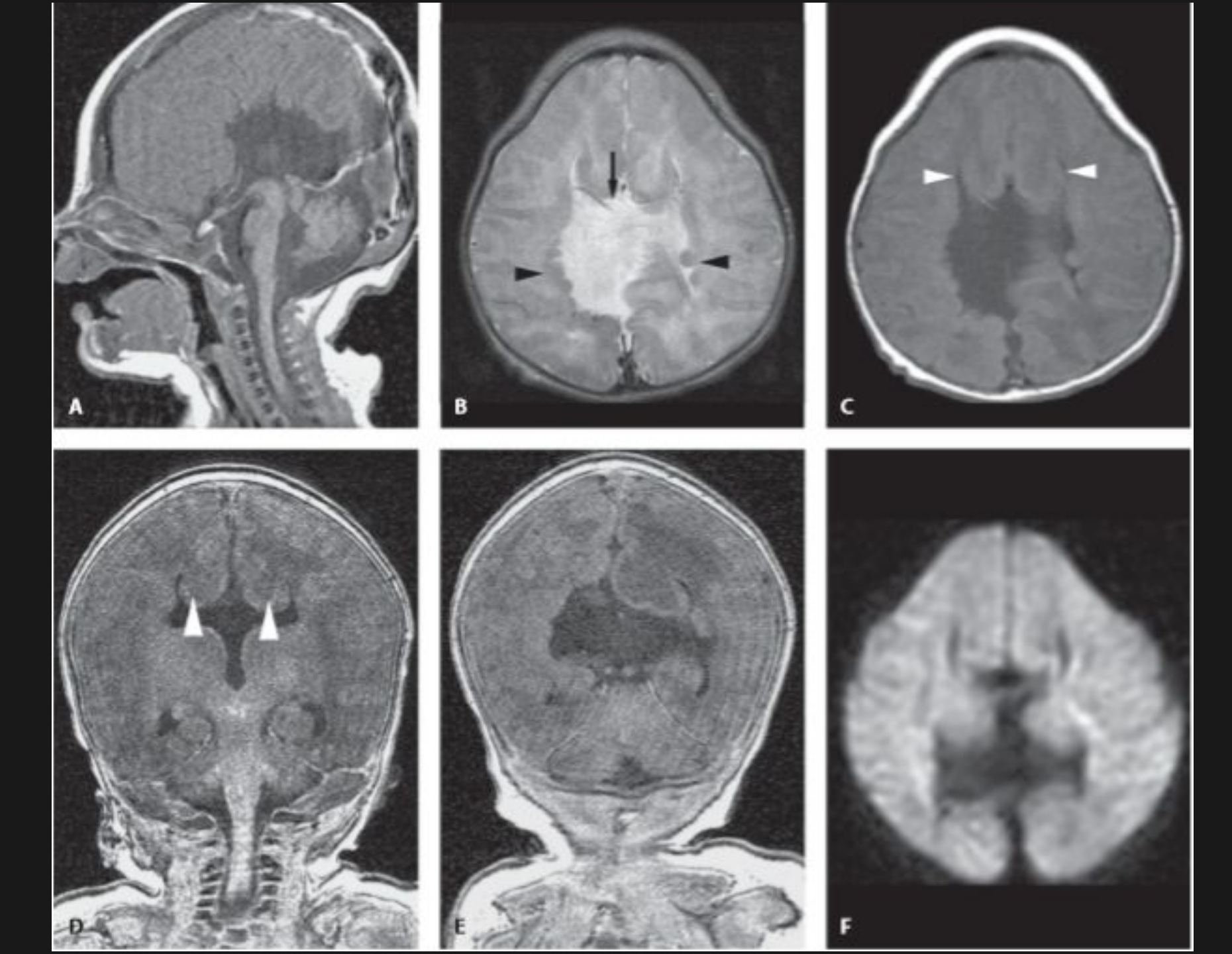
-отсутствие или частичное базальное и полушарное расщепление в сочетании с отсутствием/неполным развитием межполушарной борозды/серпа мозга -непарная передняя мозговая артерия

Выраженность и тяжесть аномалии определяется степенью расщепления переднего мозга

- 🛘 алобарная ГПЭ
- □ семилобарная ГПЭ
- □ лобарная ГПЭ





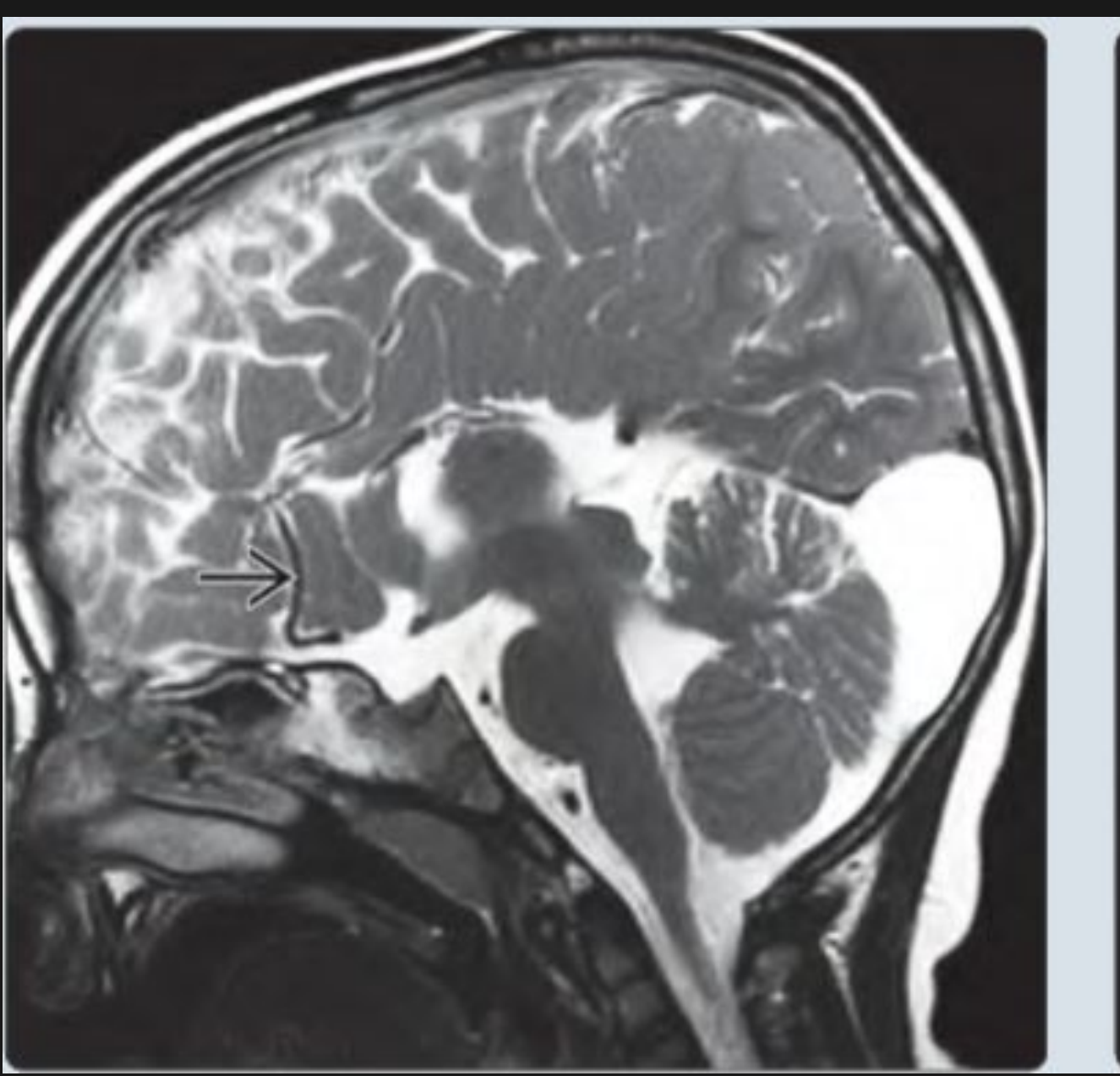


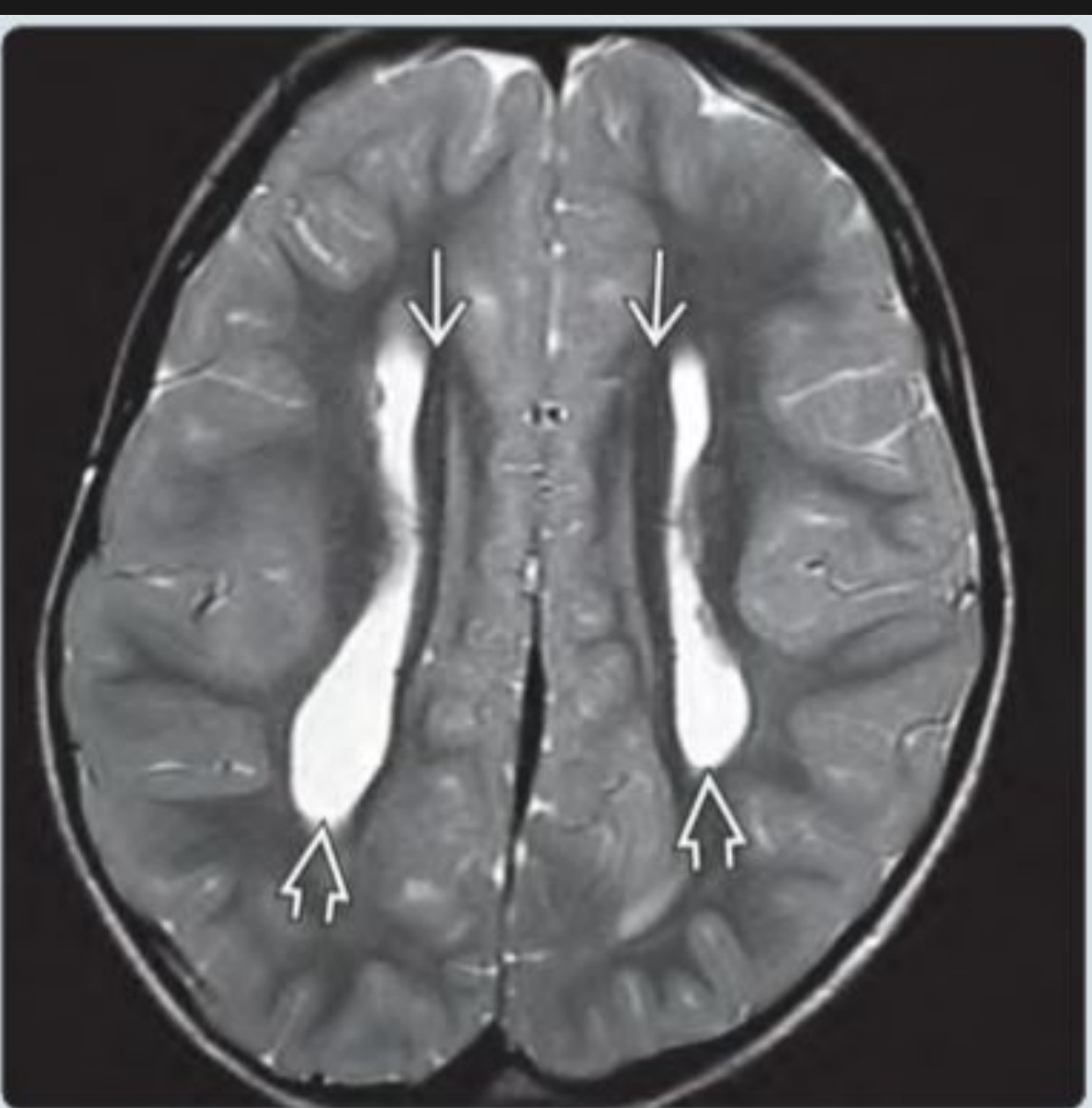
Дисгенезии мозолистого тела

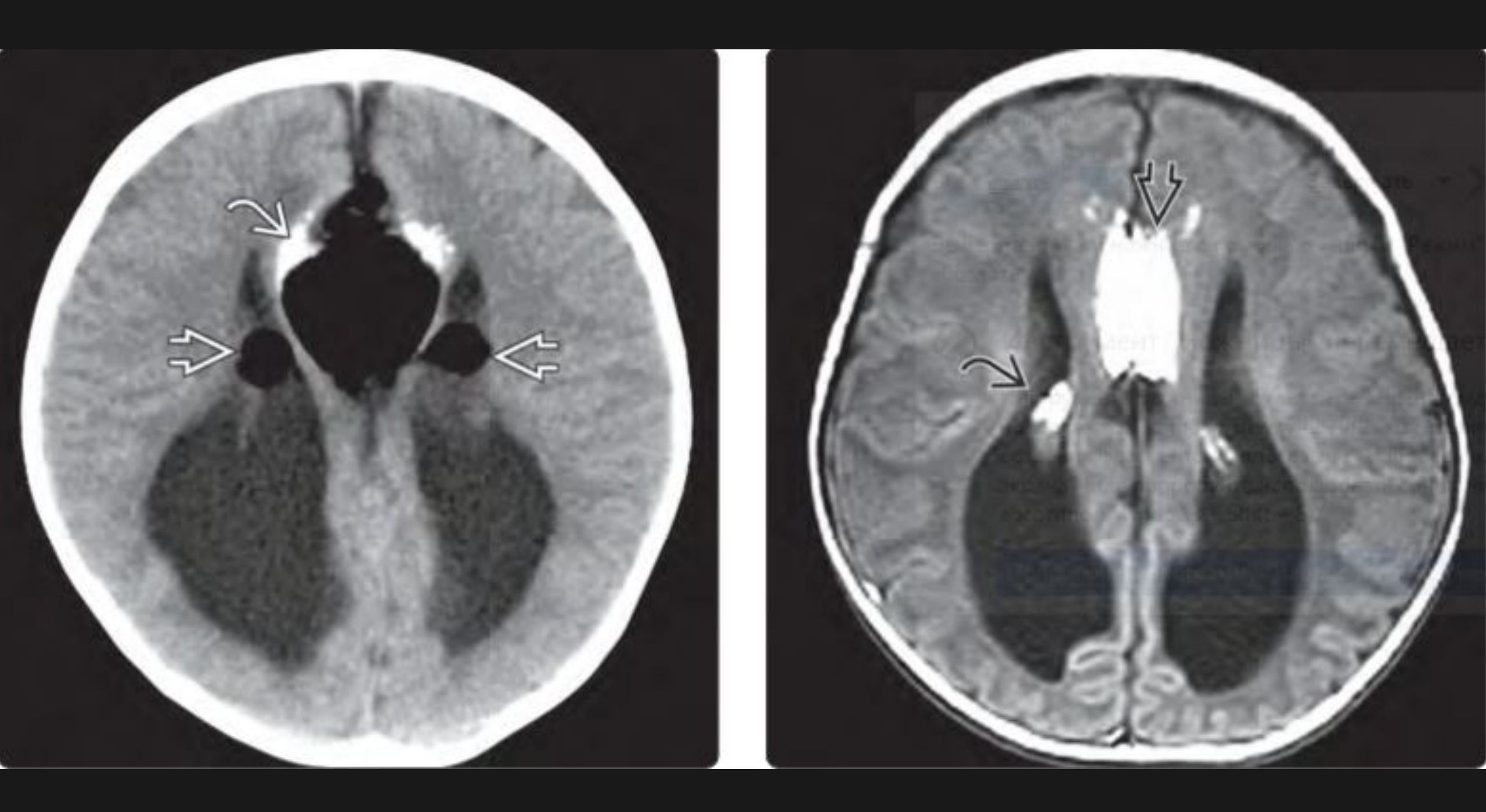
Визуализация:

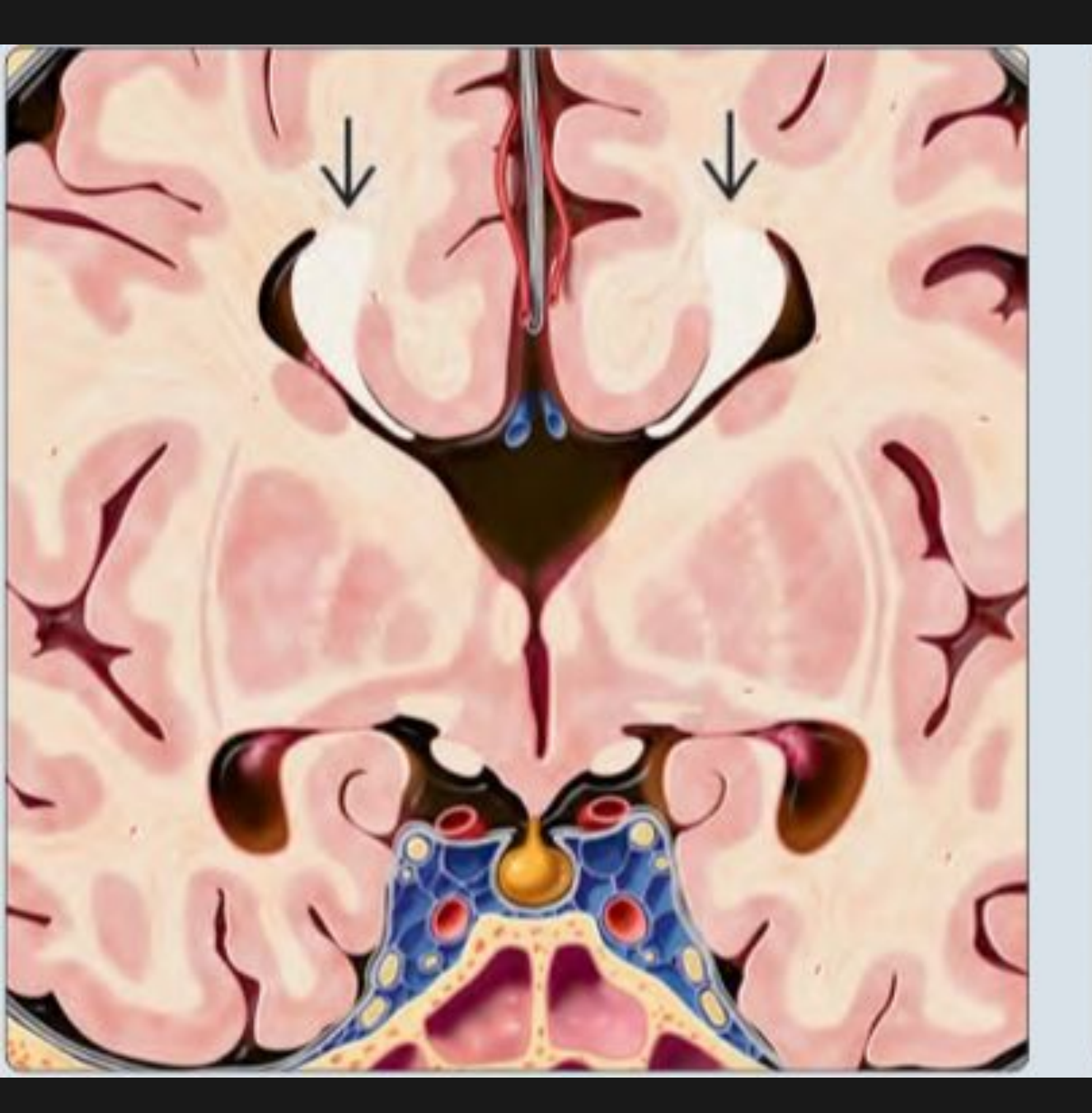
- ♦ Отсутствие мозолистого тела на саггитальных, корональных срезах
- На месте отсутствующего мозолистого тела тракты вместо перекреста образуют пучки Пробста(DTI)
- Боковые желудочки разделены и параллельны
- Преддверие/затылочный рог бокового желудочка часто расширены (кольпоцефалия)

Спектр врожденных структурных аномалий МТ
-тотальная агенезия
-частичная агенезия
-гипоплазия
-гиперплазия



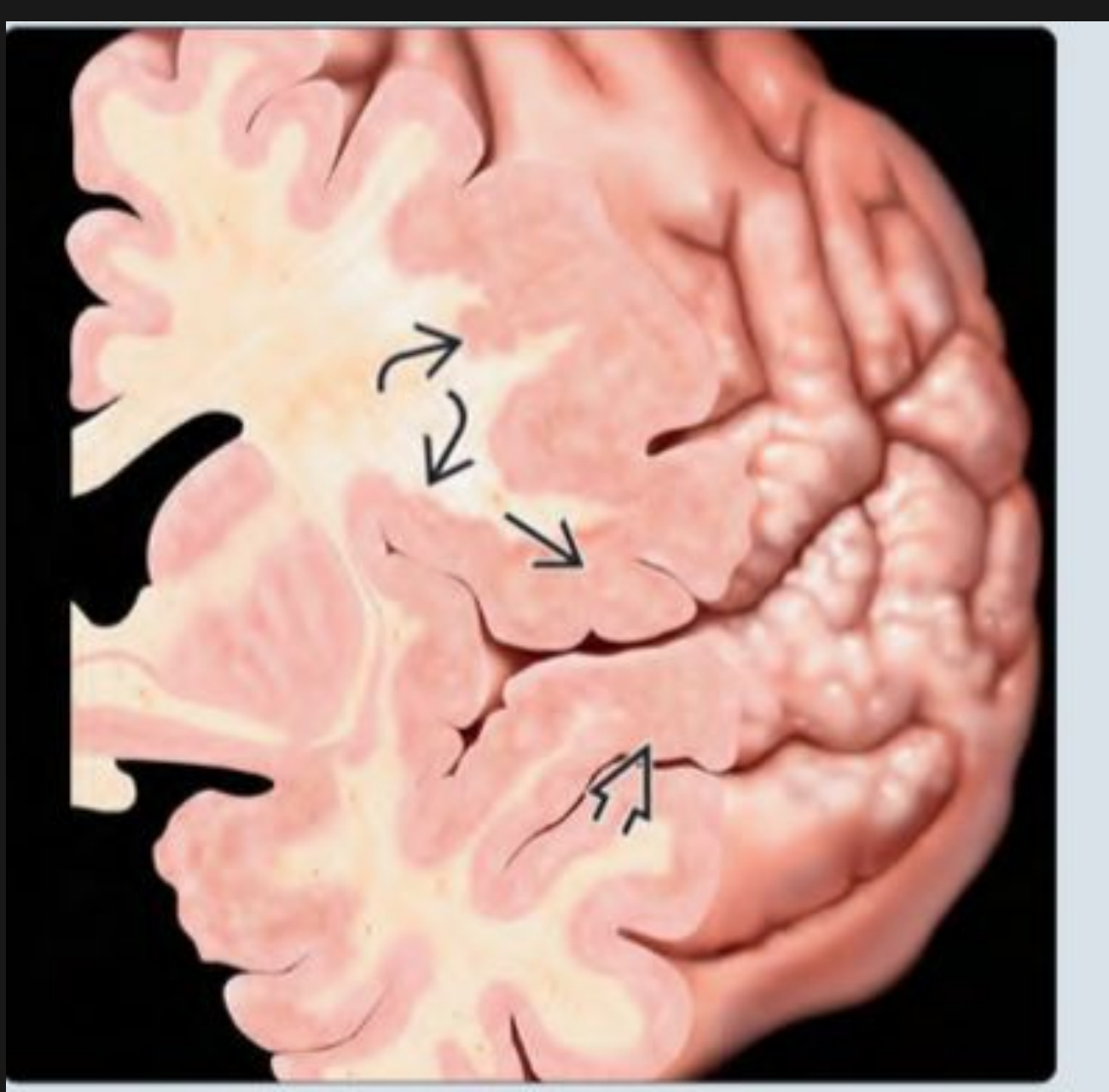


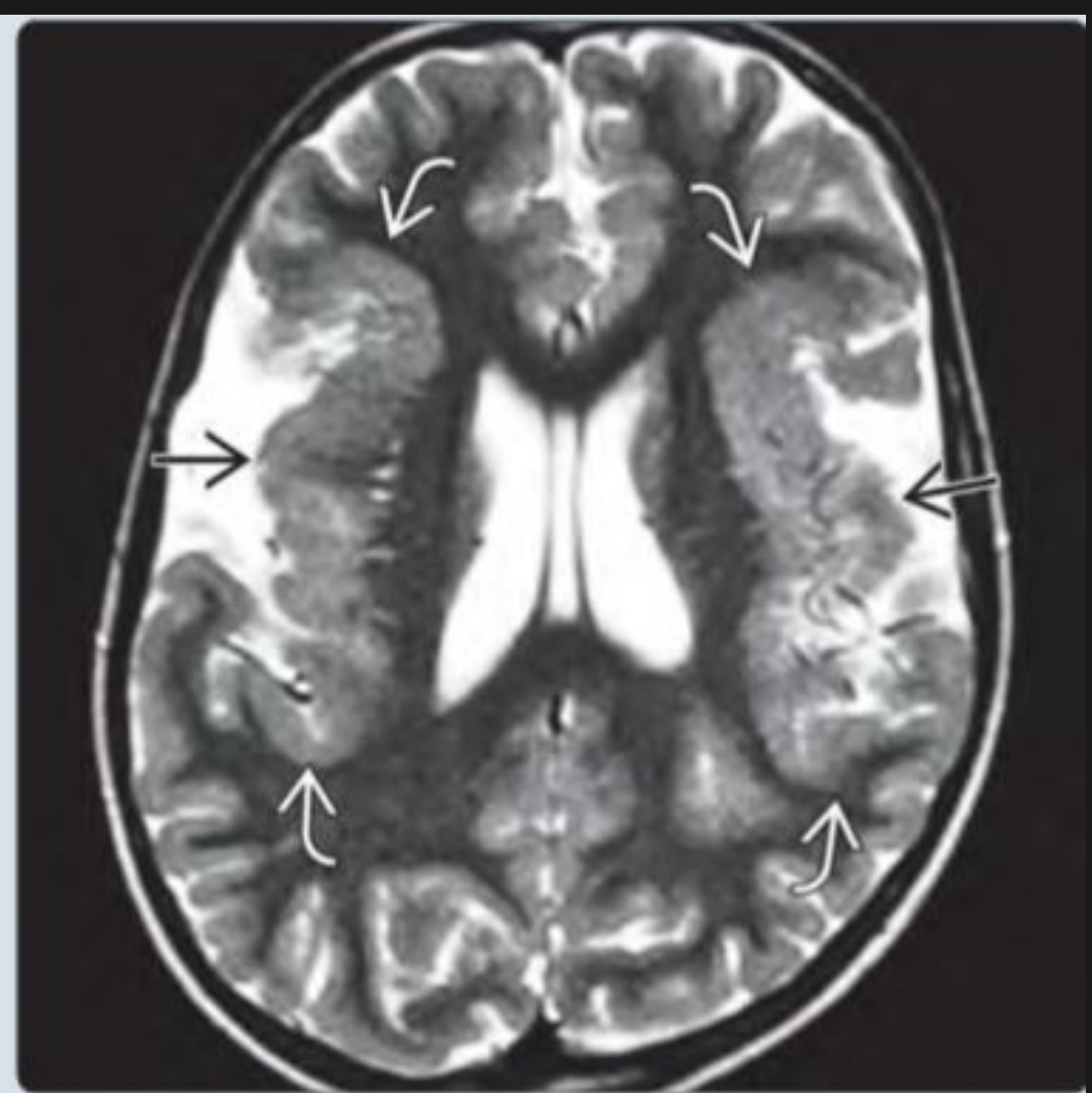


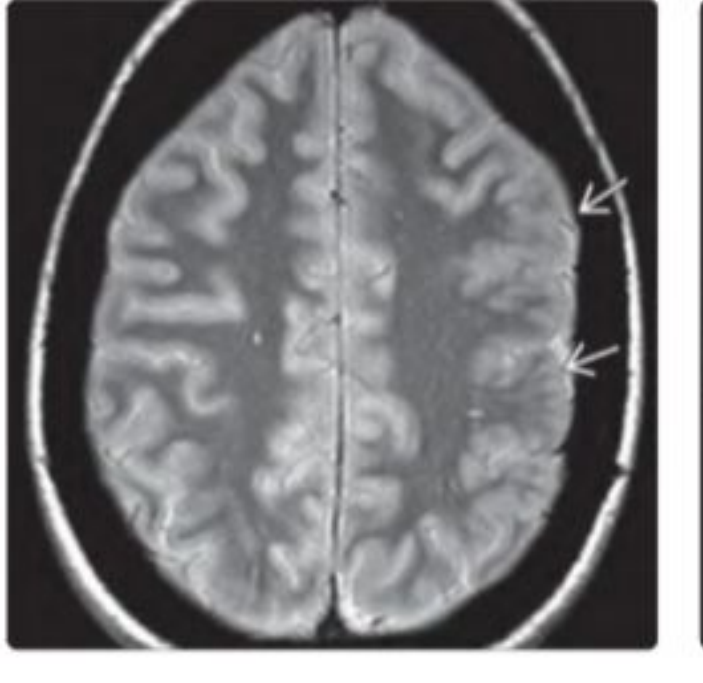


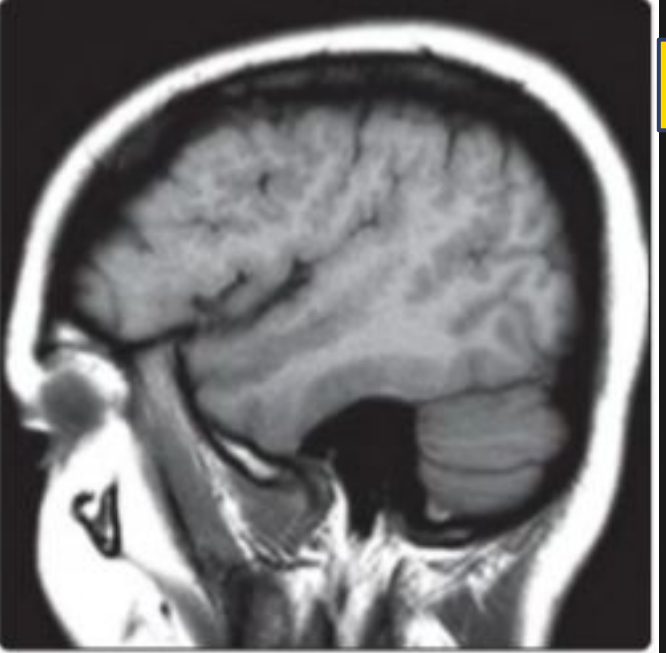


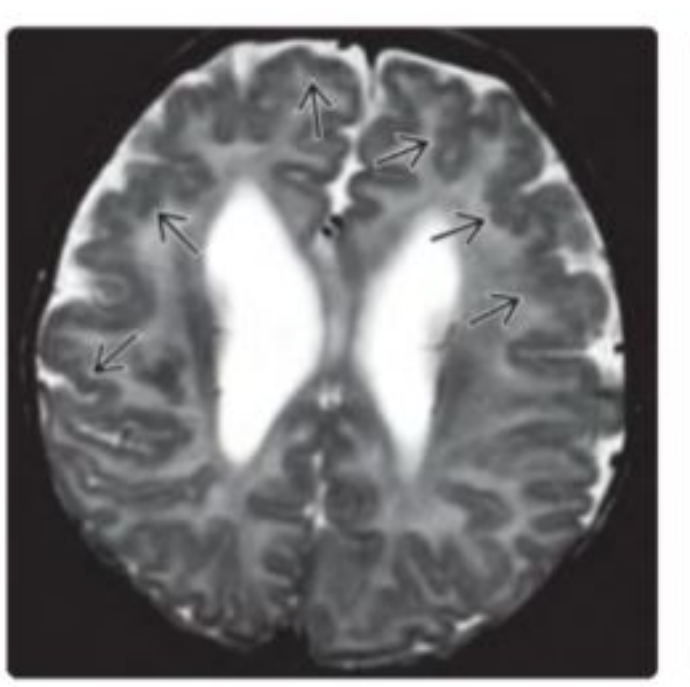
Полимикрогирия

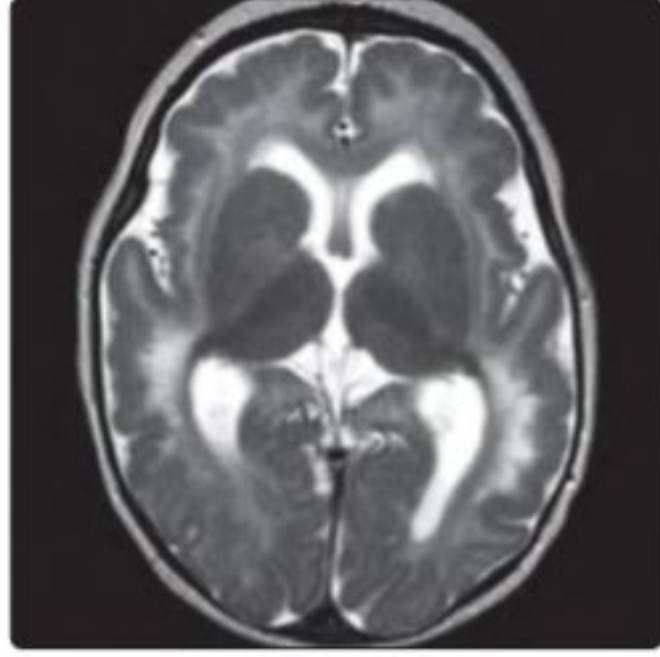










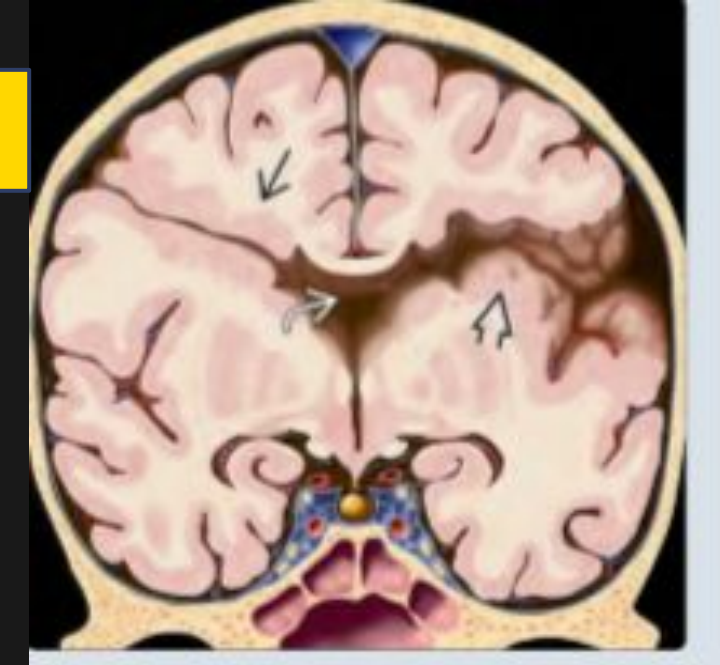


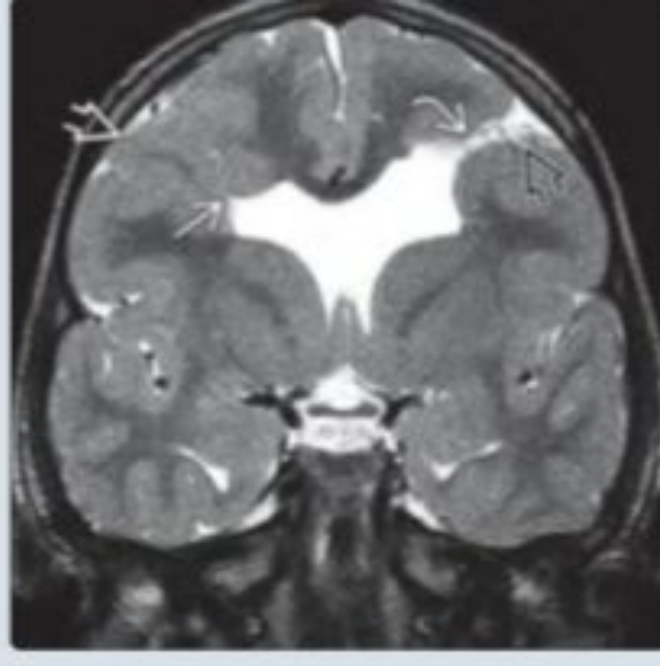
Полимикрогирия

- Проявления кортикальной дисплазии на МРТ различны: неровная, неправильно сформированная поверхность или наоборот, совершенно гладкая из-за спаянности наружного листка коры (молекулярного слоя) на микрощелях.
- характерна изоинтенсивность
- Т2:Полимикрогирия (два паттерна визуализации)
- <12 месяцев: слабо волнистый слой коры нормальной толщины(3-4 мм)
- >18 мес. толстая бугристая кора(6-8 мм), +-расширение периваскулярных пространств+-складчатость коры.

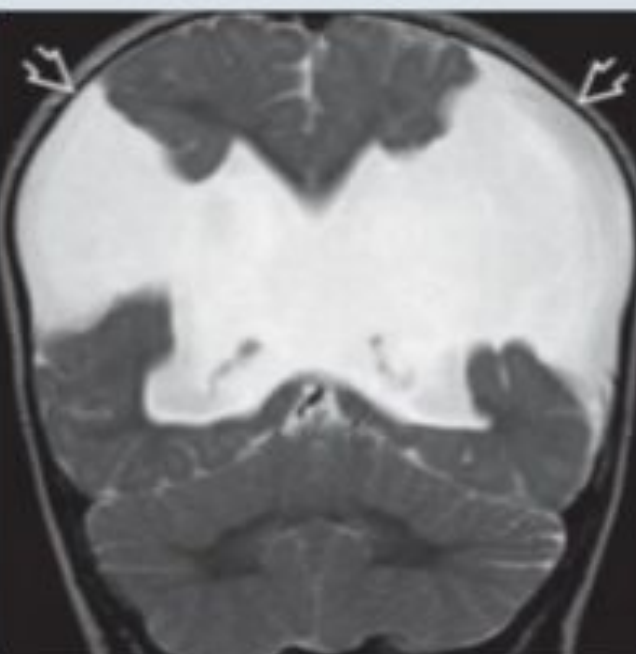
Шизэнцефалия

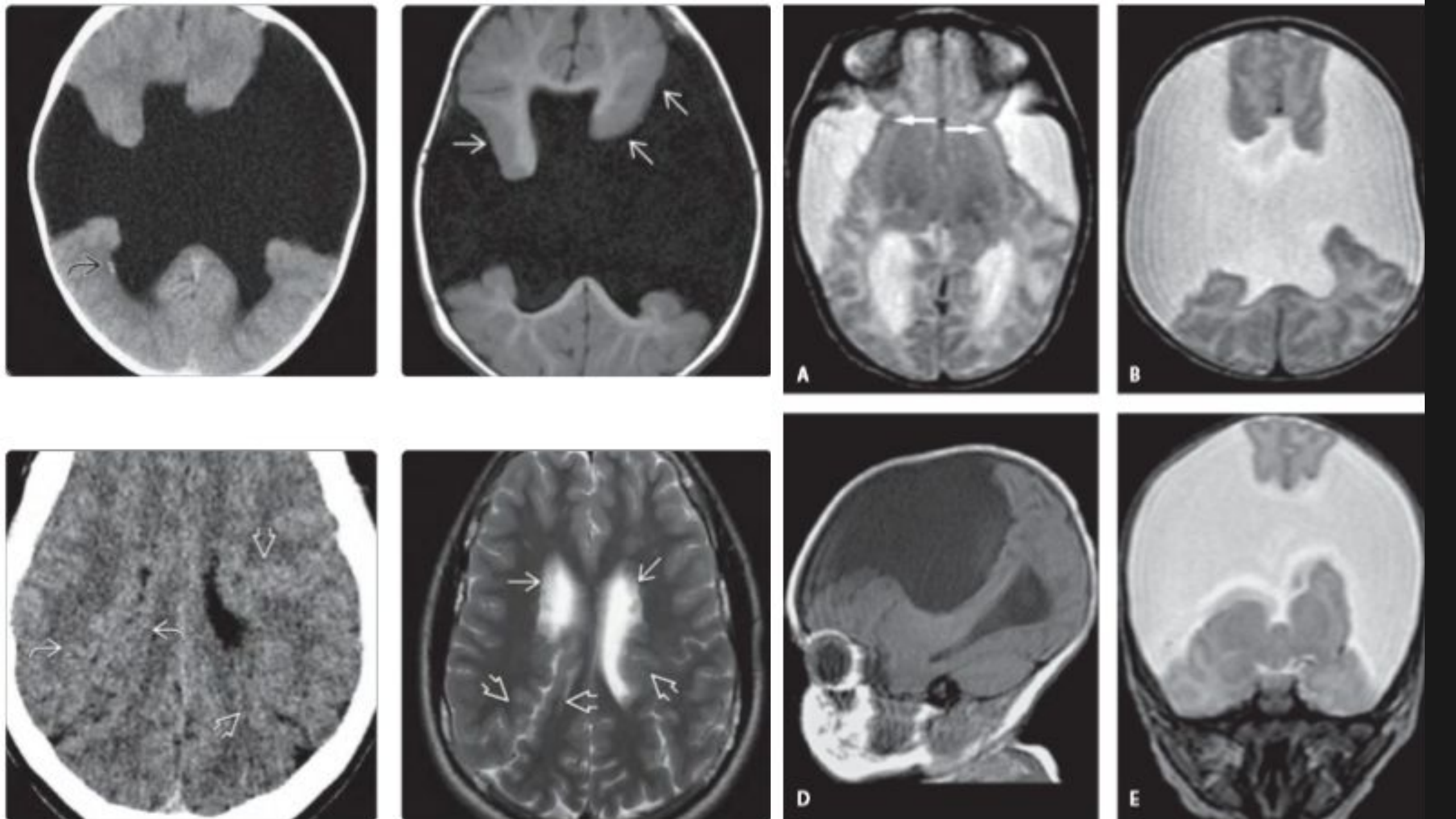
- При I типе края расщелины широко отстоят друг от друга, пространство между ними заполнено ликвором.
- При шизэнцефалии II типа края расщелины сомкнуты, плотно прилежат друг к другу, разделяясь глубокой узкой бороздой, выстланной эпендимой и паутинной оболочкой.
- Деструкция коры мозга при шизэнцефалии сопровождается гетеротопией серого вещества по краям расщелины.

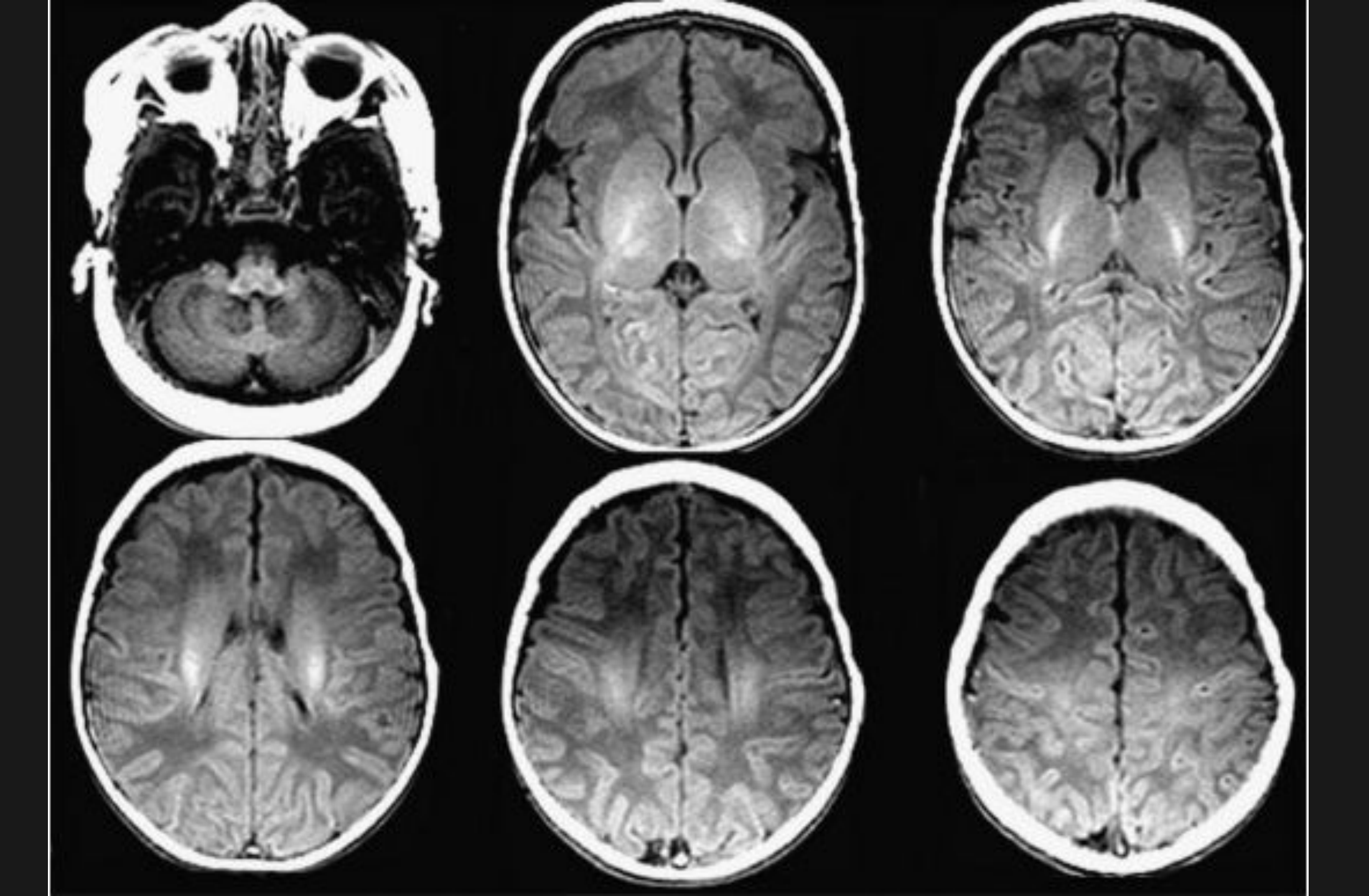


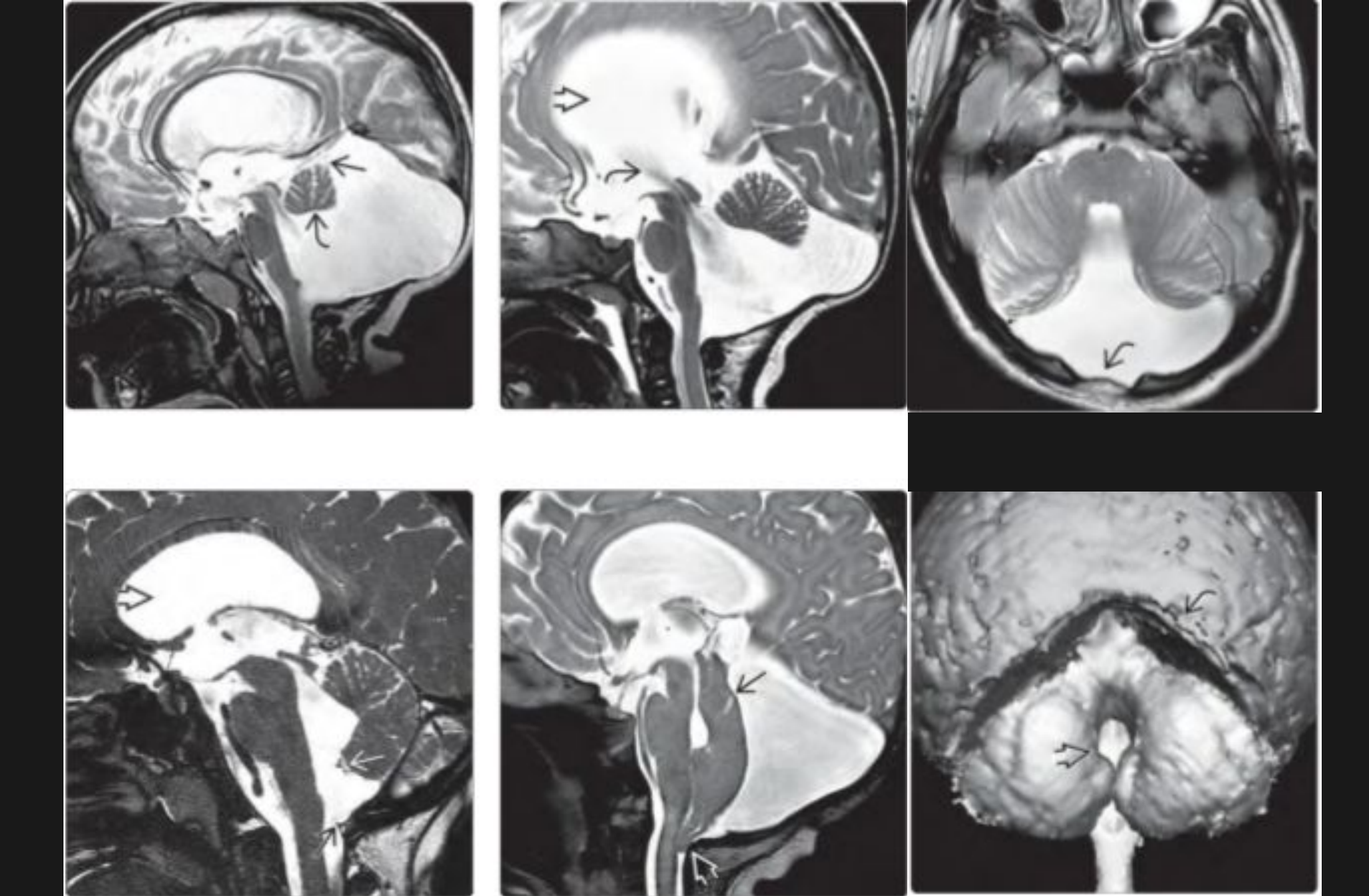












Мальформация Dandy-Walker

 Данная мальформация представляет собой кистозное расширение IV желудочка, сочетающееся с агенезией червя мозжечка, высоким расположением мозжечкового намета и гидроцефалией

```
"Классическая" МДУ:
```

- -кистозная дилатация IV желудочка увеличенная ЗЧЯ;
- -гипоплазия червя мозжечка, его краниальная ротация; Гипоплазия червя мозжечка с ротацией(ГЧР):
- -непостоянная гипоплазия червя мозжечка,
- -3ЧЯ/ствол мозга нормальных размеров,
- -киста небольшая или отсутствует; Персистирующая киста кармана Блейка(ККБ):
- -сообщение "открытого" IV желудочка с кистой; Мега цистерна магна(МЦМ):
- -увеличенные околомозжечковые цистерны сообщаются с базальными субарахноидальными пространствами.

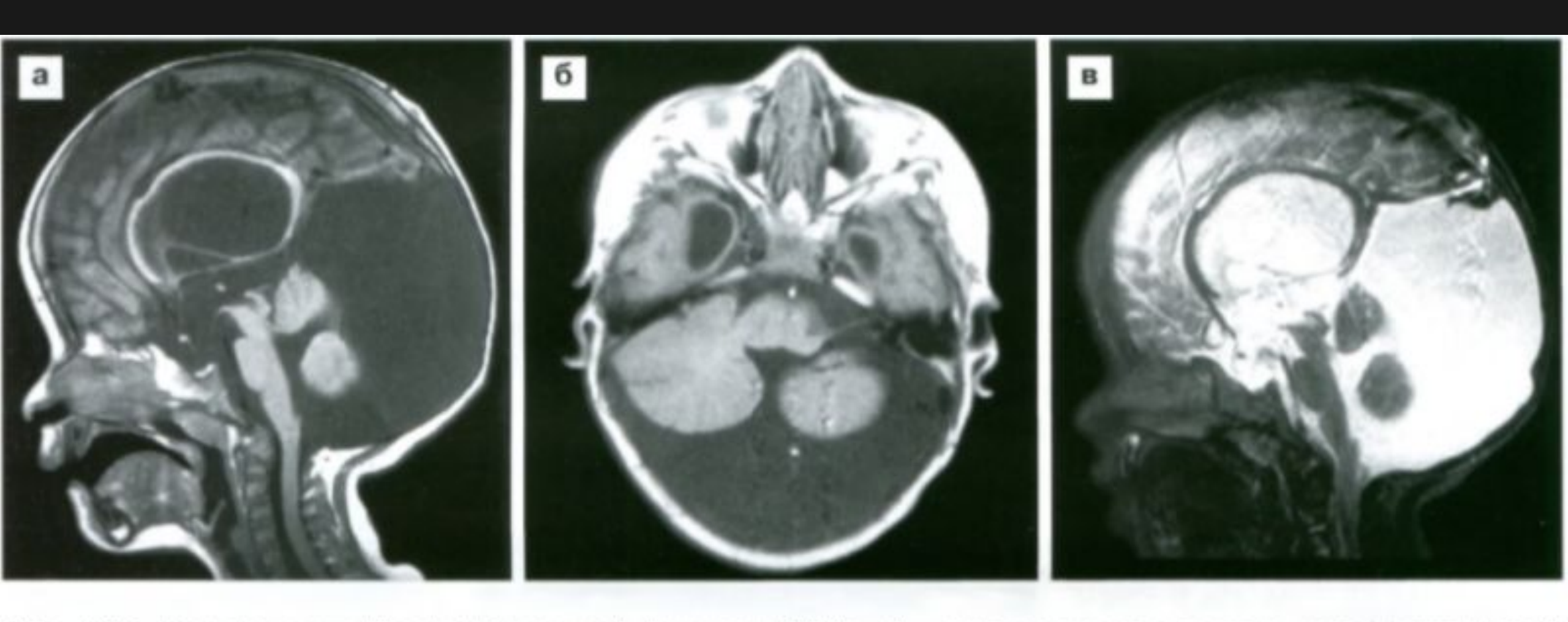
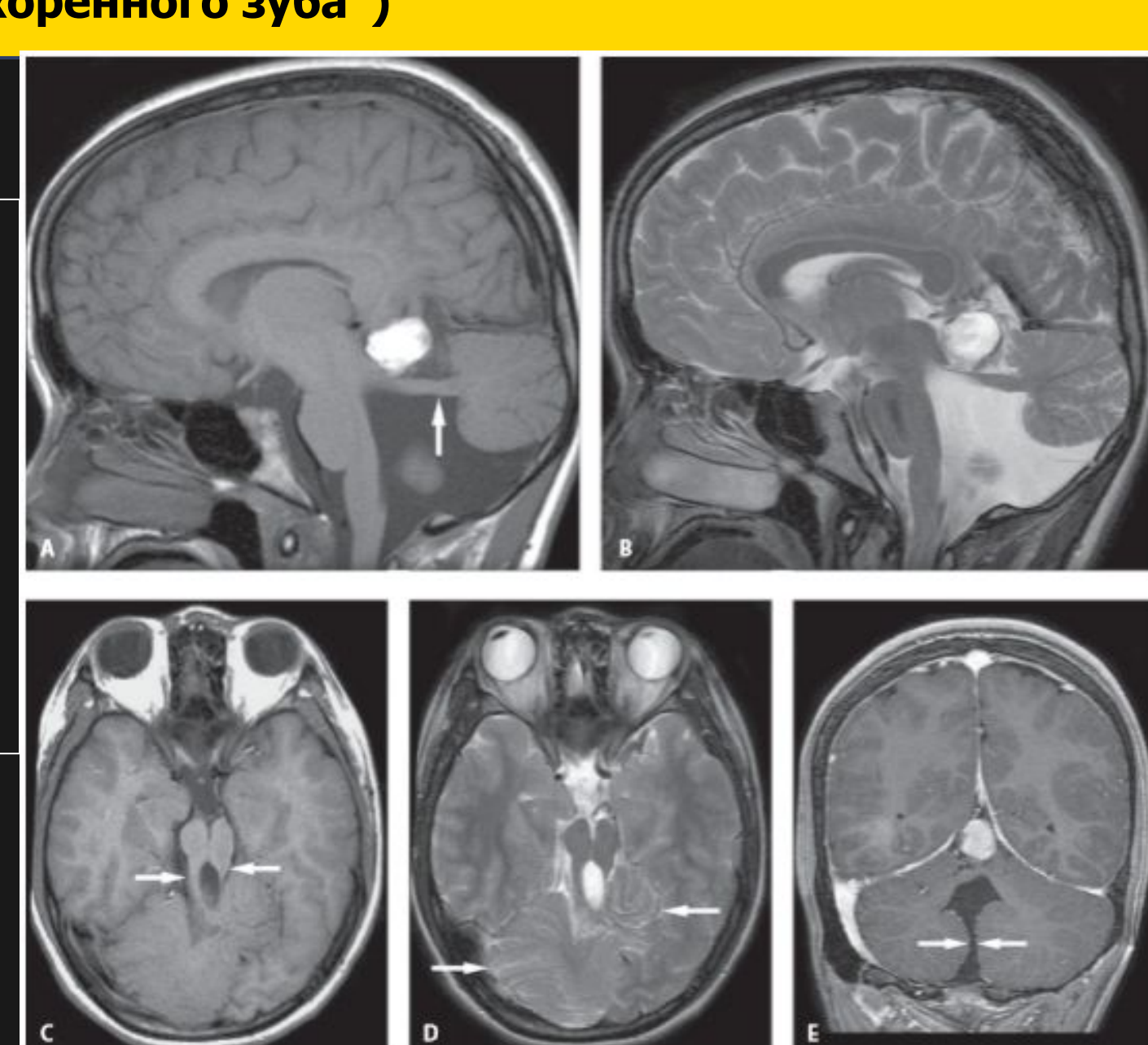


Рис. 4.20. Мальформация Dandy-Walker у реб. 3-х мес. МРТ (**a**-**в**) — гипоплазия ствола мозга, червя и полушарий мозжечка, ликворная киста занимает увеличенную в объеме заднюю черепную ямку, мозжечковый намет расположен высоко, III и боковые желудочки резко расширены.

Синдром Жубера (мальформация "коренного зуба")

Аномалия развития заднего мозга, характеризующаяся дисморфией червя, отсутствием перекреста волокон передних ножек мозжечка, центральных волокон моста, а также кортикоспинальных трактов.



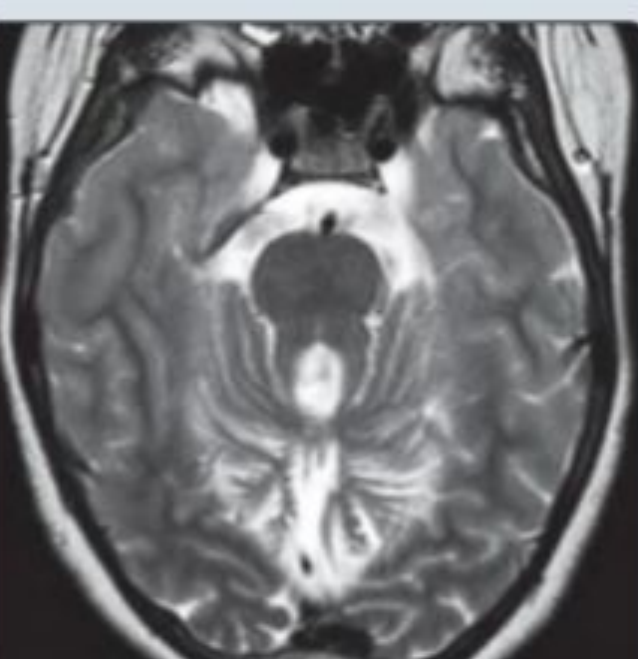
Визуализация:

- Схожесть на аксиальных срезах формы среднего мозга с формой коренного зуба
- 🛮 Расщепление червя по средней линии
- Утолщение и горизонтальная ориентация(перпендикулярно стволу головного мозга)передних ножек мозжечка
- Срединная депрессия дна IV желудочка на уровне перешейка мозга (истончение перешейка по средней линии)









Список литературы

Branson HM. Normal myelination: a practical pictorial review.

Welker KM, Patton A. Assessment of normal myelination with magnetic resonance imaging. Diagnostic imaging. Brain / [edited by] Anne G. Osborn, Karen L. Salzman, and Miral D. Jhaveri.

L.M.Ketonen A.Hiwatashi R.Sidhu P.-L.Westesson. Pediatric Brain and Spine. An Atlas of MRI and Spectroscopy

Корниенко В.Н. Пронин И.Н. Диагностическая нейрорадиология.